

Espace des modules de certains polyèdres projectifs miroirs

Ludovic Marquis

Abstract

A projective mirror polyhedron is a projective polyhedron endowed with reflections across its faces. We construct an explicit diffeomorphism between the moduli space of mirror projective polyhedron with fixed dihedral angles, and the union of n copies of \mathbb{R}^d , when the combinatoric of the polyhedra lie in an infinite family of polyhedra, that we call ecimahedron.

1 Introduction

Un ouvert convexe Ω de l'espace projectif réel $\mathbb{P}^n(\mathbb{R})$ est dit *divisible* lorsqu'il existe un sous-groupe discret Γ du groupe des transformations projectives $\mathrm{PGL}_{n+1}(\mathbb{R})$ qui préserve Ω et agit proprement et cocompactement sur Ω . On dit aussi que Γ *divise* Ω . Vinberg a trouvé une méthode géométrique pour construire des convexes divisibles à l'aide des groupes de Coxeter. Cette méthode a été initié par Poincaré pour construire des réseaux du groupe des isométries de l'espace hyperbolique réel.

Dans la méthode de Poincaré, on commence par se donner un polyèdre P de l'espace hyperbolique réel \mathbb{H}^n et une famille d'isométries qui identifie 2 à 2 les $(n-1)$ -faces de P . Si ces isométries vérifient des relations de compatibilité, qui disent que l'on pave bien autour de chaque $(n-2)$ -face, alors le groupe engendré par ces isométries agit proprement sur \mathbb{H}^n et P est un domaine fondamental pour cette action. En particulier, si P est un polyèdre de \mathbb{H}^n dont les angles entre les $(n-1)$ -faces adjacentes sont des sous-multiples de π , alors le groupe engendré par les réflexions qui fixent les faces de P est un groupe de Coxeter ; il agit proprement sur \mathbb{H}^n et P est un domaine fondamental.

Vinberg a généralisé cette méthode au cadre projectif de la façon suivante. On se donne un polyèdre compact P de $\mathbb{P}^n(\mathbb{R})$ et des réflexions qui fixent les faces de P . Cette fois-ci, on a des degrés de liberté pour choisir ces réflexions. Si elles vérifient des conditions de compatibilité analogues à celles du cas hyperbolique alors le groupe Γ engendré par ces réflexions est un groupe de Coxeter, qui agit proprement sur un ouvert convexe Ω de $\mathbb{P}^n(\mathbb{R})$ qui contient P et P est un domaine fondamental pour l'action de Γ sur Ω .

Cette construction motive l'introduction de la notion de polyèdre projectif miroir. Il s'agit de la donnée d'un polyèdre projectif P et de réflexions par rapport aux faces de P . On a alors une notion naturelle d'angle diédral (on donnera les définitions précises à la section 2). Dans ce texte, on s'intéresse au problème suivant : étant donné le graphe d'un polyèdre \mathcal{G} dont les arêtes sont labellées par des réels $\theta \in]0, \frac{\pi}{2}]$. On cherche à comprendre l'espace des polyèdres projectifs miroirs qui ont la combinatoire fixée par \mathcal{G} , et dont les angles diédraux sont les angles fixés par les labels de \mathcal{G} .

Choi s'est intéressé à ce problème dans [2], sous un angle un peu différent : il fixe un polyèdre projectif P dont il labelle les arêtes par des réels $\theta \in]0, \frac{\pi}{2}]$, et il cherche à comprendre l'espace des

réflexions par rapport aux faces de P qui font de P un polyèdre projectif miroir dont les angles diédraux sont les labels des arêtes de P . Choi montre sous une hypothèse dite "d'ordonnabilité" que cet espace des modules est une variété lisse dont il sait calculer la dimension.

Il faut noter que l'hypothèse d'ordonnabilité de Choi porte non seulement sur la combinatoire du polyèdre P mais aussi sur les labels des arêtes de P . Nous allons montrer sous une hypothèse analogue mais qui ne porte que sur la combinatoire du graphe de polyèdre \mathcal{G} , que l'espace des modules qui nous intéresse est la réunion de n copies d'un certain \mathbb{R}^d , où les entiers n et d s'expriment à l'aide de la combinatoire de \mathcal{G} et de ces labels. Nous appellerons cette classe infini de graphe : les écimaèdres. Il s'agit des graphes obtenus en coupant "près d'un sommet" un nombre fini de fois un tétraèdre (on donnera une définition précise au paragraphe 3.1). Pour terminer cette introduction donnons le corollaire suivant :

Corollaire 1. *Soient P un écimaèdre hyperbolique de \mathbb{H}^3 compact dont tous les angles diédraux sont aigus, et \mathcal{G} le graphe de P labellé par les angles diédraux du polyèdre P . Alors, l'espace des modules des polyèdres projectifs miroirs qui réalisent \mathcal{G} est difféomorphe à $\mathbb{R}^{e_+ - 3}$, où e_+ est le nombre d'arêtes de P dont l'angle diédral est différent de $\frac{\pi}{2}$.*

Je tiens à remercier Yves Benoist pour m'avoir guidé pendant ce travail, mais aussi pour m'avoir fait découvrir les convexes divisibles. Je remercie aussi Mickaël Crampon pour ses conseils de rédaction.

2 Notion de polyèdre projectif miroir

Commençons par donner des définitions précises et par rappeler le théorème de Vinberg. Nous en profiterons pour rappeler le théorème d'Andreev dont notre théorème est un analogue naturel.

2.1 Les convexes de $\mathbb{S}(V)$

Soit V un espace vectoriel réel de dimension finie $n + 1 \geq 3$. Notons $\mathbb{S}(V) = \{\text{demi-droites vectorielles de } V\} = (V - \{0\})/\mathbb{R}_+^*$ la sphère projective, c'est une variété projective difféomorphe à la n -sphère euclidienne usuelle. Le groupe des transformations projectives de $\mathbb{S}(V)$ est $\text{SL}^\pm(V) = \{u \in \text{GL}(V) \text{ tel que } \det(u) = \pm 1\} \simeq \text{GL}(V)/\mathbb{R}_+^*$.

Definition 1. Une partie Ω de $\mathbb{S}(V)$ est dite *convexe* lorsque son intersection avec tout grand cercle de $\mathbb{S}(V)$ est connexe. On dit qu'elle est *proprement convexe* s'il existe une hypersphère projective de $\mathbb{S}(V)$ qui ne rencontre pas $\overline{\Omega}$, l'adhérence de Ω , ce qui est équivalent à l'existence d'une carte affine dans laquelle Ω est un convexe borné. Elle est dite *strictement convexe* si le bord $\partial\Omega = \overline{\Omega} \setminus \Omega$ ne contient pas de segments non triviaux. On dit qu'un ouvert convexe est *divisible* s'il existe un sous-groupe discret Γ de $\text{SL}^\pm(V)$ qui préserve Ω , agit proprement sur Ω et tel que le quotient $\Gamma \backslash \Omega$ est compact. On dit aussi que Γ *divise* Ω .

Donnons tout de suite des exemples de convexes divisibles :

- La sphère projective est un convexe divisible.
- N'importe quelle espace affine de dimension n inclus dans $\mathbb{S}(\mathbb{R}^{n+1})$ est divisé par le groupe \mathbb{Z}^n , \mathbb{R}^n est donc un exemple de convexe divisible non proprement convexe.
- On peut construire un autre convexe divisé par \mathbb{Z}^n de la façon suivante. La base canonique de \mathbb{R}^{n+1} définit naturellement un pavage de $\mathbb{S}(\mathbb{R}^{n+1})$ en 2^{n+1} n -simplexe. Si on note Ω l'intérieur de l'un d'eux, alors le stabilisateur de Ω dans $\mathrm{SL}_{n+1}(\mathbb{R})$ est le groupe D des matrices diagonales à diagonale strictement positive de déterminant 1. D agit proprement et simplement transitivement sur Ω , et il est facile de construire une représentation fidèle de \mathbb{Z}^n dans D dont l'image Γ est un réseau cocompact de D . Ainsi, Γ divise Ω qui est donc un convexe divisible proprement convexe et non strictement convexe.
- Terminons cette liste d'exemple par la construction d'un convexe divisible strictement convexe. Soit q une forme quadratique sur V de signature $(n, 1)$, et Ω l'une des 2 composantes connexes de l'ouvert $\{[v] \in \mathbb{S}(V) \mid q(v) < 0\}$. Il s'agit du modèle projectif de l'espace hyperbolique réel \mathbb{H}^n , il est donc divisé par tous les réseaux cocompacts de $\mathrm{Isom}(\mathbb{H}^n)$, le groupe des isométries de \mathbb{H}^n .

Nous allons construire dans ce texte des convexes divisibles Ω , divisé par des groupes de Coxeter W , par une méthode initiée par Vinberg.

2.2 Les polyèdres projectifs

Definition 2. Un *polyèdre projectif* est un fermé convexe proprement convexe d'intérieur non vide P de $\mathbb{S}(V)$ tel qu'il existe un nombre fini de formes linéaires $\alpha_1, \dots, \alpha_f$ sur V tel que $P = \{\alpha_i \leq 0, i = 1 \dots f\}$.

Pour tout polyèdre P de $\mathbb{S}(V)$, on définit une relation d'équivalence \sim_P sur P de la façon suivante :

$$x \sim_P y \Leftrightarrow \text{le segment } [x, y] \text{ se prolonge strictement des deux côtés dans } P$$

Les adhérences des classes d'équivalences de \sim_P s'appellent les *faces* de P . Il est clair que toute face est incluse dans un unique sous-espace projectif maximal. On appelle *dimension* (resp *codimension*) d'une face la dimension (resp codimension) de l'unique sous-espace maximal la contenant.

2.3 Groupes de Coxeter

Les groupes de Coxeter seront au coeur de nos motivations, nous allons donc rappeler quelques définitions.

Definition 3. Un *système de Coxeter* est la donnée d'un ensemble fini S et d'une matrice symétrique $M = (M_{s,t})_{s,t \in S}$ tel que les coefficients diagonaux vérifient $M_{s,s} = 1$ et les coefficients non diagonaux vérifient $M_{st} \in \{2, 3, \dots, \infty\}$. Le cardinal de S s'appelle le *rang* du système de Coxeter (S, M) . A un système de Coxeter, on associe un *groupe de Coxeter* W_S . Il s'agit d'un groupe défini par générateurs

et relations. Les générateurs sont les éléments de S et on impose les relations $(st)^{M_{st}} = 1$ pour $s, t \in S$ tel que $M_{s,t} \neq \infty$.

Avec toute partie S' de S , on peut former le groupe de Coxeter $W_{S'}$ associé au système de Coxeter (S', M') , où M' est la restriction de M à S' . Un corollaire du théorème de Vinberg montre que le morphisme naturel $W_{S'} \rightarrow W_S$ est injectif. Ainsi, $W_{S'}$ peut être identifié avec le sous-groupe de W_S engendré par la partie S' . On utilisera donc la notation $W_{S'}$ pour désigner ces deux groupes.

2.4 Polyèdre projectif miroir

Dans le cadre projectif, si on se donne un polyèdre projectif; on peut choisir pour chaque face une réflexion qui la préserve. Nous allons nous servir de cette liberté pour construire de nombreux convexes divisibles associés à un groupe de Coxeter.

2.4.1 Le théorème de Vinberg

Soit P un polyèdre projectif, on note S l'ensemble des faces de codimension 1 de P , et on suppose que $P = \{\alpha_s \leq 0, s \in S\}$. On se donne pour chaque face s de codimension 1, une réflexion projective $\sigma_s = Id - \alpha_s \otimes v_s$ avec $v_s \in V$ et $\alpha_s(v_s) = 2$ qui fixe la face s , et on note Γ le groupe engendré par les réflexions σ_s pour $s \in S$, et $a_{s,t} = \alpha_s(v_t)$.

Une étude locale autour des faces de codimension 2 montre que des conditions nécessaires pour que les $\gamma(P)$ pavent une partie de $\mathbb{S}(V)$ (c'est à dire que les $\gamma(P)$ soient d'intérieur disjoints) sont les suivantes :

$$\forall s, t \in S, \text{ tel que } \text{codim}(s \cap t) = 2, \text{ on a :}$$

$$\left\{ \begin{array}{l} 1) \quad a_{s,t} \geq 0 \quad \text{et} \quad (a_{s,t} = 0 \Leftrightarrow a_{t,s} = 0) \\ 2) a) \quad a_{s,t}a_{t,s} \geq 4 \quad \text{ou} \quad b) \quad a_{s,t}a_{t,s} = 4 \cos^2\left(\frac{\pi}{m_{s,t}}\right) \\ \quad \text{avec } m_{s,t} \geq 2 \text{ entier} \end{array} \right.$$

Le théorème de Vinberg affirme que ces conditions sont en fait suffisantes.

Nous allons relâcher légèrement la condition (2) en la condition (2') qui autorise les angles à prendre toutes les valeurs entre $[0, \frac{\pi}{2}]$.

$$2') a) \quad a_{s,t}a_{t,s} \geq 4 \quad \text{ou} \quad b) \quad a_{s,t}a_{t,s} = 4 \cos^2(\theta_{s,t}) \\ \quad \text{avec } \theta_{s,t} \in]0, \frac{\pi}{2}]$$

Definition 4. Un *polyèdre projectif miroir* est la donnée d'un polyèdre projectif P et, pour chaque face s de P , d'une réflexion $\sigma_s = Id - \alpha_s \otimes v_s$ qui fixe s , avec les conventions suivantes : $P = \{\alpha_s \leq 0, s \in S\}$, $\alpha_s(v_s) = 2$ et les conditions (1) et (2'b) sont vérifiées. On dit que *l'angle diédral* entre deux faces s et t tels que $\text{codim}(s \cap t) = 2$ est $\theta_{s,t} \in]0, \frac{\pi}{2}]$ si $a_{s,t}a_{t,s} = 4 \cos^2(\theta_{s,t})$.

Notations. Soit P un polyèdre miroir. On désignera par la lettre S l'ensemble de ces faces de codimension 1. On s'est donné pour chaque $s \in S$ une réflexion $\sigma_s = Id - \alpha_s \otimes v_s$ tel que $\alpha_s(v_s) = 2$ et $P = \{\alpha_s \leq 0, s \in S\}$. Cette convention de signe détermine un unique couple

$([\alpha_s], [v_s]) \in \mathbb{S}(V^*) \times \mathbb{S}(V)$. On appellera le point $[v_s]$ la *polaire* de la face s . On fera bien attention au fait que le couple (α_s, v_s) n'est pas unique. En effet, si (α_s, v_s) convient alors pour tout $\lambda \in \mathbb{R}_+^*$ le couple $(\lambda^{-1}\alpha_s, \lambda v_s)$ convient aussi. Enfin, si $s, t \in S$ alors on notera $\mu_{s,t}$ la quantité $\alpha_s(v_t)\alpha_t(v_s)$ qui est bien définie. Par définition, si s et t sont deux faces de P tels que $\text{codim}(s \cap t) = 2$ alors $\mu_{s,t} = 4 \cos^2(\theta_{s,t})$, dans ce cas on notera $m_{s,t} = \frac{\pi}{\theta_{s,t}}$. Ces notations et conventions seront utilisées tout au long de ce texte.

Définition 5. Soit P un polyèdre projectif miroir dont les angles diédraux sont des sous-multiples de π . Le *système de Coxeter associé à P* est le système de Coxeter (S, M) , où S est l'ensemble des faces de codimension 1 de P et pour tout $s, t \in S$, $M_{s,t} = m_{s,t}$ si les faces s et t vérifient $\text{codim}(s \cap t) = 2$ et $M_{s,t} = \infty$ sinon. On note W_S le groupe de Coxeter associé au système (S, M) .

Théorème 1 (Vinberg). Soit P un polyèdre projectif miroir dont les angles diédraux sont des sous-multiples de π . Soient (S, M) le système de Coxeter associé à P , W_S le groupe de Coxeter associé et Γ le groupe engendré par les σ_s . Alors,

- a) Les polyèdres $\gamma(P)_{\gamma \in \Gamma}$ pavent un convexe Ω de $\mathbb{S}(V)$.
- b) Le morphisme $W_S \rightarrow \Gamma$ défini par $\sigma(s) = \sigma_s$ est un isomorphisme.
- c) Γ est un sous-groupe discret de $\text{SL}^\pm(V)$.
- d) Γ agit proprement sur $\mathring{\Omega}$, l'intérieur de Ω .
- e) Ω est ouvert si et seulement si pour toute face v de P , W_{S_v} est fini, où $S_v = \{s \in S \mid v \subset s\}$. Et, dans ce cas Ω/Γ est compact.

Ce théorème est montré dans l'article de Vinberg [1] et dans un texte de Benoist [3].

Remarque. Lorsque le graphe de Coxeter de W_S est connexe que W_S est infini et que les v_s engendrent V , alors Ω est proprement convexe. (Ceci est démontré dans [3].)

Remarque. Le point e) du théorème de Vinberg et la classification des groupes de Coxeter fini ([7]) montrent qu'en dimension 3, pour tout sommet v de P le groupe W_{S_v} est de type $(2, 2, n)$ avec $n \geq 2$, ou $(2, 3, 3)$, $(2, 3, 4)$ ou encore $(2, 3, 5)$. En particulier, tout sommet de P doit être de valence 3 et porter une arête d'ordre 2.

2.4.2 Combinatoire d'un polyèdre de \mathbb{S}^3

On se restreint désormais à la dimension 3 et on appellera une face de codimension 1 (resp 3) une face (resp une arête resp un sommet). Certaines propriétés combinatoires des polyèdres seront essentielles, nous allons donc donner quelques définitions.

A tout polyèdre P , on associe un graphe \mathcal{G}_P planaire et 3-connexe (i.e \mathcal{G}_P a plus de quatre sommets et \mathcal{G}_P privé de 2 sommets quelconques non adjacents est encore connexe) dont les sommets sont les sommets de P et les arêtes les arêtes de P .

Définition 6. Soient P un polyèdre et \mathcal{G} un graphe. On dira que P réalise \mathcal{G} lorsqu'il existe une identification de \mathcal{G}_P avec \mathcal{G} .

Remarque. En fait, on peut montrer qu'un graphe est réalisé par un polyèdre si et seulement s'il est planaire et 3-connexe (Théorème de Steinitz, voir le livre [4]).

Ce qui nous intéresse, c'est de réaliser des polyèdres avec des angles diédraux prescrits, on en vient donc à la définition suivante :

Definition 7. Un *graphe labellé* est la donnée d'un graphe de valence 3, planaire et 3-connexe \mathcal{G} et pour chaque arête e de \mathcal{G} d'un réel $\theta_e \in]0, \frac{\pi}{2}]$.

Remarque. Un graphe labellé \mathcal{G} est en particulier un graphe planaire et 3-connexe, la notion de face de \mathcal{G} est donc bien définie.

Notations. Soit \mathcal{G} un graphe labellé, si e est une arête de \mathcal{G} , on désignera par θ_e l'angle associé. De plus, on désignera par μ_e le réel $4 \cos^2(\theta_e)$, et si $\theta_e = \frac{\pi}{m}$, avec $m \geq 2$, on dira que l'arête est d'ordre m . De plus, si s et t désignent deux faces de \mathcal{G} qui partagent une arête alors cette arête sera notée st , et θ_{st} désigne alors l'angle qu'elle porte.

Lorsque l'on étudie l'espace des modules d'un objet mathématique, il est souvent utile d'introduire un marquage.

Definition 8. Un graphe labellé (resp polyèdre miroir) est dit *marqué* lorsqu'une numérotation de ses faces a été choisies.

Definition 9. Soit \mathcal{G} un graphe labellé marqué, et P un polyèdre miroir marqué, on dit que P réalise \mathcal{G} lorsque le polyèdre sous-jacent à P réalise le graphe sous-jacent à \mathcal{G} via une identification qui respecte leur marquage et que les angles diédraux du polyèdre projectif miroir P correspondent aux labels de \mathcal{G} .

Remarque. Pour alléger la rédaction, on supposera implicitement tout au long de ce texte que tous les graphes labellés et tous les polyèdres projectifs miroirs sont marqués.

La notion suivante va nous permettre de décrire des propriétés combinatoires des polyèdres qui seront essentielles pour la suite.

Definition 10. Soit \mathcal{G} un graphe planaire et 3-connexe.

Un *k-circuit orienté* (resp *k-circuit*) Γ de \mathcal{G} est une suite $(f_1, e_1, f_2, e_2, \dots, f_k, e_k)$ définie à permutation circulaire près (resp à permutation circulaire près et à sens de parcours près) tel que :

$$\left\{ \begin{array}{l} \text{les } f_i \text{ sont des faces de } \mathcal{G}, \\ \text{les } e_i \text{ sont des arêtes de } \mathcal{G}, \\ \forall i = 1 \dots k, f_i \cap f_{i+1} = e_i, \text{ où } f_{k+1} = f_1. \end{array} \right.$$

De plus, si toutes les extrémités des arêtes de Γ sont distinctes, alors on dit que Γ est *prismatique*.

Definition 11. Soit \mathcal{G} un graphe labellé et Γ un *k-circuit* de \mathcal{G} . On note $(\theta_i)_{i=1 \dots k}$ les angles des arêtes de Γ , posons $\Sigma = \sum_{i=1 \dots k} \theta_i$.

	<i>sans angle droit</i>	si les θ_i sont tous différents de $\frac{\pi}{2}$ pour $i = 1 \dots k$,
	<i>avec angle droit</i>	si l'un des θ_i est égal à $\frac{\pi}{2}$ pour $i = 1 \dots k$,
On dira que Γ est	<i>sphérique</i>	lorsque $\Sigma > (k - 2)\pi$,
	<i>affine</i>	lorsque $\Sigma = (k - 2)\pi$,
	<i>hyperbolique</i>	lorsque $\Sigma < (k - 2)\pi$.

2.4.3 Le théorème d'Andreev

Il existe une famille de graphes labellés qui vérifie toutes les hypothèses "classiques" du théorème d'Andreev mais qui ne peut être réalisée par des polyèdres hyperboliques compacts. Il s'agit des graphes labellés de la figure 1 que nous appellerons les *prismes exceptionnels* et nous les noterons $\mathcal{G}_{\alpha,\beta,\gamma}$.

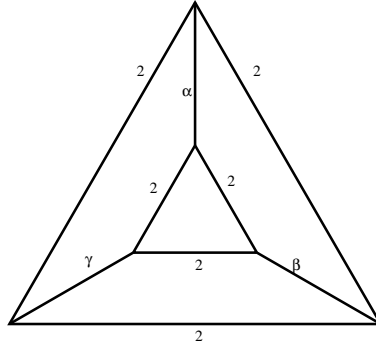


FIG. 1 – Prisme exceptionnel

Théorème 2 (Andreev). *Soit \mathcal{G} un graphe labellé qui n'est pas le graphe d'un tétraèdre. Alors, il existe un polyèdre compact hyperbolique P qui réalise \mathcal{G} si et seulement si les quatre conditions suivantes sont vérifiées :*

- *Tout 3-circuit non prismatique de \mathcal{G} est sphérique.*
- *Tout 3-circuit prismatique de \mathcal{G} est hyperbolique.*
- *Tout 4-circuit prismatique de \mathcal{G} est hyperbolique.*
- *\mathcal{G} n'est pas un prisme exceptionnel.*

De plus, ce polyèdre est unique à isométrie près.

On peut trouver une démonstration du théorème d'Andreev dans [5] ou [6]. On va s'intéresser à présent à un analogue projectif de ce résultat.

2.4.4 Espaces des modules d'un polyèdre projectif miroir

Soit \mathcal{G} un graphe labellé marqué, on introduit l'espace suivant :

$$Y_{\mathcal{G}} = \{P \text{ polyèdre projectif miroir marqué tel que } P \text{ réalise } \mathcal{G}\}.$$

$\mathrm{SL}_4^{\pm}(\mathbb{R})$ agit naturellement sur $Y_{\mathcal{G}}$. On souhaite comprendre l'espace quotient $X_{\mathcal{G}} = Y_{\mathcal{G}}/\mathrm{SL}_4^{\pm}(\mathbb{R})$ que l'on appelle *espace des modules des polyèdres projectifs miroirs marqués qui réalisent \mathcal{G}* .

3 Résultat

Dans ce texte, nous nous intéressons exclusivement à une classe très particulière de polyèdre, que nous allons définir et étudier dans toute la partie qui suit ; nous appellerons ces polyèdres les écimaèdres.

3.1 Les écimaèdres combinatoires

Soit \mathcal{G} un graphe planaire 3-connexe de valence 3. Soit v un sommet de \mathcal{G} , on définit un nouveau graphe \mathcal{G}' planaire 3-connexe de valence 3 où le sommet v a été remplacé par un triangle dont les sommets appartiennent aux arêtes issues de v , comme sur la figure 2. Cette opération sera appelée l'*écimage* du graphe \mathcal{G} au sommet v .

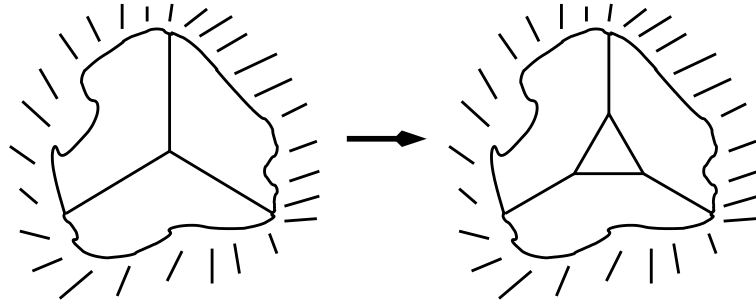


FIG. 2 – Ecimage

Definition 12. Un graphe \mathcal{G} est un *écimaèdre combinatoire* lorsqu'on peut l'obtenir à partir du graphe du tétraèdre combinatoire (i.e le graphe complet à 4 sommets) et d'un nombre fini d'écimages. Un polyèdre P est un *écimaèdre* si son graphe \mathcal{G}_P est un écimaèdre combinatoire.

A tout écimaèdre combinatoire \mathcal{G} , on associe un arbre $\mathcal{A}_{\mathcal{G}}$ qui "mémorise" les écimages effectués. Cet arbre permet de coder de façon très efficace une partie de la combinatoire de \mathcal{G} .

Pour construire $\mathcal{A}_{\mathcal{G}}$, nous aurons besoin de quelques définitions.

Definition 13. Soient \mathcal{G} un graphe planaire et 3-connexe et Γ un 3-circuit orienté de \mathcal{G} . La *coupe droite* (resp *gauche*) de \mathcal{G} le long de Γ est le graphe \mathcal{G}_{Γ}^d (resp \mathcal{G}_{Γ}^g) obtenu en retirant tous les sommets et les arêtes de \mathcal{G} à gauche (resp droite) de Γ et en ajoutant un triangle dont les sommets sont les extrémités des arêtes de Γ qui sont à gauche (resp droite) de Γ . (Voir figure 3.)

Profitions-en, pour donner tout de suite la définition analogue pour les graphes labellés.

Definition 14. Soient \mathcal{G} un graphe labellé et Γ un 3-circuit orienté de \mathcal{G} . La *coupe droite* (resp *gauche*) de \mathcal{G} le long de Γ , comme le graphe labellé \mathcal{G}_{Γ}^d (resp \mathcal{G}_{Γ}^g) dont le graphe sous-jacent est la coupe droite (resp gauche) du graphe sous-jacent à \mathcal{G} , et on labelle les nouvelles arêtes de \mathcal{G}_{Γ}^d (resp \mathcal{G}_{Γ}^g) par des 2 et les anciennes gardent leurs labels. (Voir figure 3.)

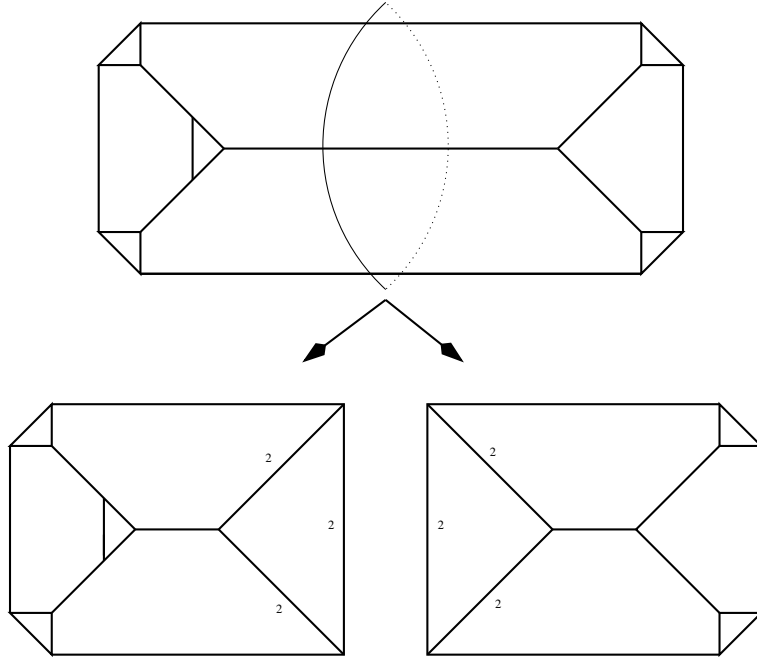


FIG. 3 – Coupe d'un graphe labellé

Remarque. Lorsqu'il n'y a pas d'ambiguïté sur le 3-circuit Γ . On allégera les notations \mathcal{G}_Γ^d et \mathcal{G}_Γ^g en notant $\mathcal{G}_\Gamma^d = \mathcal{G}^d$ et $\mathcal{G}_\Gamma^g = \mathcal{G}^g$.

Definition 15. Soit \mathcal{G} un graphe planaire et 3-connexe. On dit qu'un 3-circuit prismatique est *combinatoirement essentiel* lorsqu'il ne fait pas le tour d'une face triangulaire.

Soit \mathcal{G} un écimaèdre. On note $(\Gamma_i)_{i=1\dots n}$ l'ensemble des 3-circuits de \mathcal{G} . On choisit pour chaque $i = 1\dots n$ une orientation de Γ_i . On commence par couper \mathcal{G} le long de Γ_1 . On obtient ainsi les coupes droite et gauche $\mathcal{G}_{\Gamma_1}^d$ et $\mathcal{G}_{\Gamma_1}^g$ de \mathcal{G} le long de Γ_1 . Chaque Γ_i pour $i = 2\dots n$ définit naturellement un 3-circuit orienté de $\mathcal{G}_{\Gamma_1}^d$ ou $\mathcal{G}_{\Gamma_1}^g$. On peut donc réitérer le processus et ainsi découper \mathcal{G} le long de ses 3-circuits, on obtient ainsi $n + 1$ écimaèdres combinatoires $(\mathcal{B}_i)_{i=1\dots n+1}$ qui ne possèdent aucun 3-circuit prismatique combinatoirement essentiel.

Definition 16. Soit \mathcal{G} un écimaèdre combinatoire. On garde les notations du paragraphe précédent. L'arbre associé à \mathcal{G} sera noté $\mathcal{A}_\mathcal{G}$ et il est défini de la façon suivante : les sommets de $\mathcal{A}_\mathcal{G}$ sont les $(\mathcal{B}_i)_{i=1\dots n+1}$ et deux sommets \mathcal{B}_i et \mathcal{B}_j de $\mathcal{A}_\mathcal{G}$ sont reliés lorsque \mathcal{B}_i et \mathcal{B}_j partagent un 3-circuit de \mathcal{G} .

On représentera les arêtes extrémales de $\mathcal{A}_\mathcal{G}$ en pointillés, car elles sont en bijection avec les sommets de \mathcal{G} , alors que les arêtes non extrémales sont en bijection avec les 3-circuits prismatiques de \mathcal{G} .

Remarque. Il faut bien prendre garde au fait que l'application $\mathcal{G} \mapsto \mathcal{A}_\mathcal{G}$ n'est pas injective. Et, elle est surjective sur l'ensemble des arbres dont les sommets non extrémaux sont de valence 4.

Remarque. Il est facile de voir qu'il n'existe que 5 écimaèdres combinatoires qui ne possèdent aucun 3-circuit prismatique non combinatoirement essentiel. Ce sont les écimaèdres dessinés dans les figures

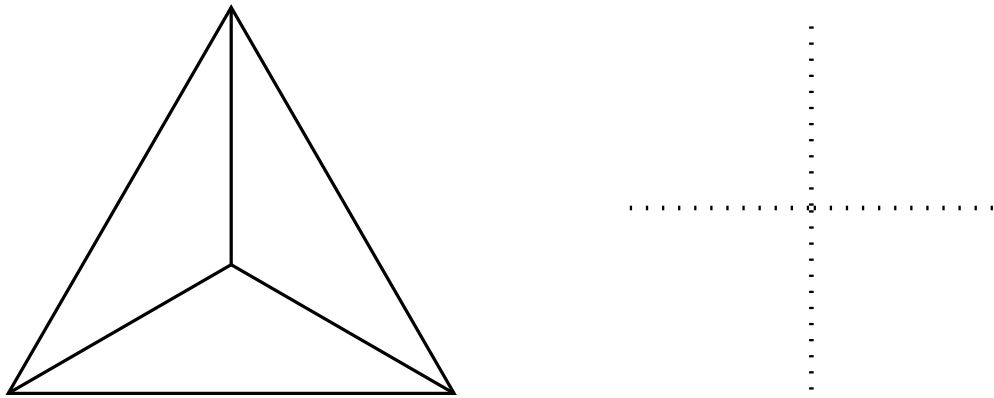


FIG. 4 – Tétraèdre et l'arbre associé

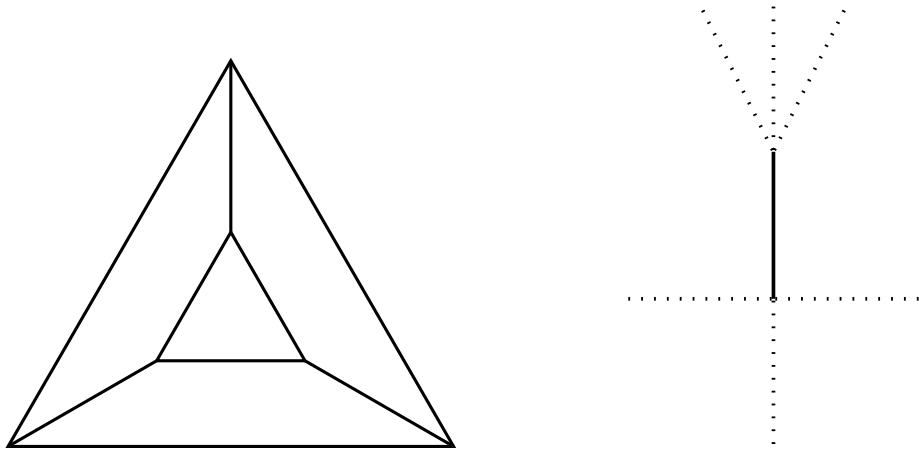


FIG. 5 – Tétraèdre écimé une fois et l'arbre associé

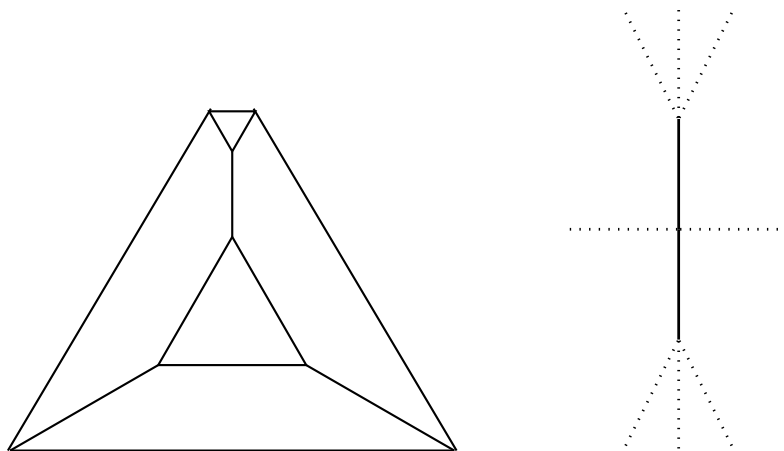


FIG. 6 – Tétraèdre écimé deux fois et l'arbre associé

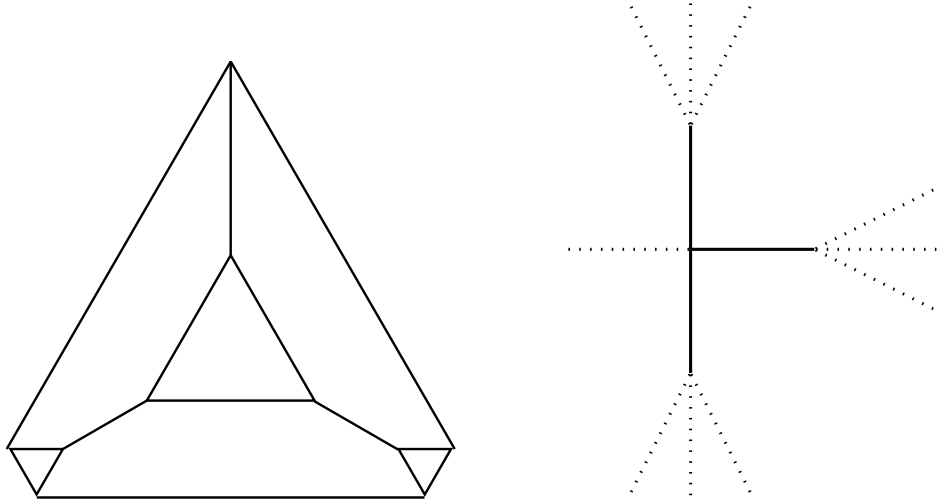


FIG. 7 – Tétraèdre écimé trois fois et l'arbre associé

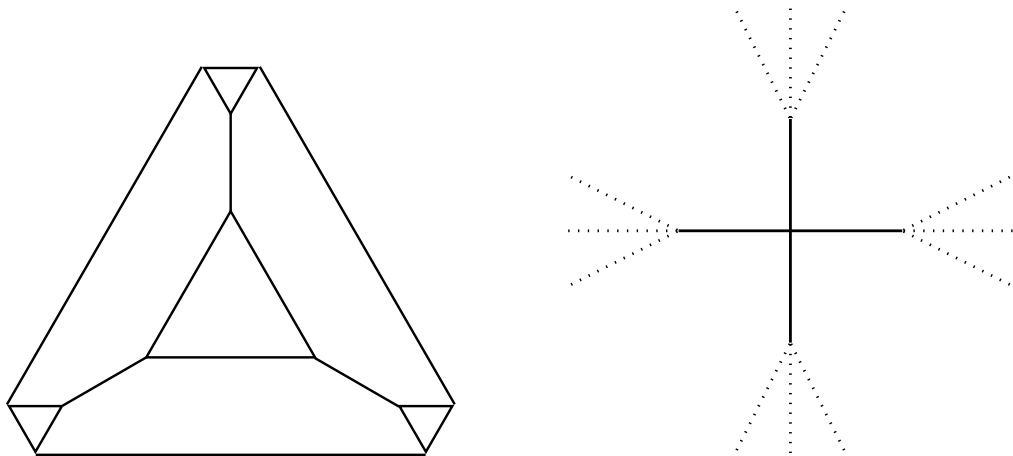


FIG. 8 – Tétraèdre écimé quatre fois et l'arbre associé

de 4 à 8 ; il s'agit du tétraèdre combinatoire auquel on a effectué de 0 à 4 écimages en ses sommets. Il est clair que le tétraèdre combinatoire est le seul qui ne possède aucun 3-circuit prismatique. On appellera donc les 4 autres polyèdres *les blocs fondamentaux combinatoires*. Ainsi, tout écimaèdre combinatoire qui n'est pas un tétraèdre est obtenu d'un point de vue purement combinatoire à partir de ces 4 écimaèdres combinatoires, en les recollant le long de faces triangulaires.

Nous allons montrer que l'on peut construire tous les écimaèdres miroirs qui ne viennent pas d'un tétraèdre en recollant des "blocs fondamentaux miroirs". Tout ceci sera précisé dans ce qui suit. Mais donnons tout de suite la définition de bloc fondamental labellé.

Definition 17. Un *bloc fondamental labellé* est un graphe labellé dont le graphe sous-jacent est un bloc fondamental combinatoire dont les faces triangulaires issus de l'écimage ne possèdent que des arêtes d'ordre 2.

3.2 Enoncé du résultat

Pour énoncer notre résultat, nous avons besoin d'introduire plusieurs quantités associées à \mathcal{G} , mais commençons par calculer la dimension attendue de $X_{\mathcal{G}}$ de façon heuristique.

On peut voir $X_{\mathcal{G}}$ de la façon suivante : soient S l'ensemble des faces de \mathcal{G} et f le cardinal de S .

1. Nombres d'inconnues : $(\mathbb{S}((\mathbb{R}^4)^*) \times \mathbb{S}(\mathbb{R}^4))^S$ est une variété de dimension $6f$.
2. Nombres d'équations : on a $e + e_2$ équations, où e est le nombre d'arêtes de \mathcal{G} et e_2 le nombre d'arêtes d'ordre 2.
3. Modulo $SL_4^{\pm}(\mathbb{R})$ qui agit librement et proprement sur $Y_{\mathcal{G}}$ et $\dim(SL_4^{\pm}(\mathbb{R})) = 15$.

Donc la dimension attendue de \mathcal{G} est $d(\mathcal{G}) = 6f - e - e_2 - 15$. Or, \mathcal{G} est de valence 3 donc $d(\mathcal{G}) = e_+ - 3$, où e_+ est le nombre d'arêtes de \mathcal{G} d'ordre différent de 2.

Definition 18. Soit \mathcal{G} un graphe labellé. On définit les quantités suivantes :

- $d(\mathcal{G}) = e_+ - 3$.
- $n(\mathcal{G})$ est le nombre de 3-circuit prismatique affine sans angle droit ou sphérique sans angle droit de \mathcal{G} .
- $m(\mathcal{G})$ est le nombre de 3-circuit prismatique affine avec angle droit ou sphérique avec angle droit de \mathcal{G} .

Théorème 3. Soit \mathcal{G} un écimaèdre labellé marqué. Alors,

- 1) Si $m(\mathcal{G}) = 0$ et $d(\mathcal{G}) \geq 0$ alors $X_{\mathcal{G}}$ est difféomorphe à $\kappa(\mathcal{G})$ copies de $\mathbb{R}^{d(\mathcal{G})}$, où $\kappa(\mathcal{G})$ est un entier pair ou égal à 1, qui vérifie $1 \leq \kappa(\mathcal{G}) \leq 2^{n(\mathcal{G})}$.
et \mathcal{G} n'est pas un prisme exceptionnel
- 2) Si $m(\mathcal{G}) = 0$ et $d(\mathcal{G}) < 0$ alors on a deux cas :
a) Le graphe sous-jacent à \mathcal{G} est un tétraèdre combinatoire et $X_{\mathcal{G}}$ est un singleton.
b) $\mathcal{G} = \mathcal{G}_{\alpha, \beta, \frac{\pi}{2}}$ pour un certain couple (α, β) avec $\alpha + \beta < \frac{\pi}{2}$ et $X_{\mathcal{G}} = \emptyset$.
- 3) Si $m(\mathcal{G}) > 0$ et $X_{\mathcal{G}} \neq \emptyset$ alors $m(\mathcal{G}) = 1$ et $\mathcal{G} = \mathcal{G}_{\alpha, \frac{\pi}{2} - \alpha, \frac{\pi}{2}}$ et $X_{\mathcal{G}}$ est un singleton.
- 4) Si $\mathcal{G} = \mathcal{G}_{\alpha, \beta, \gamma}$ est un prisme exceptionnel sans angle droit alors
a) si $\alpha + \beta + \gamma < \pi$ alors $X_{\mathcal{G}} = \emptyset$.
b) si $\alpha + \beta + \gamma = \pi$ alors $X_{\mathcal{G}}$ est un singleton.
c) si $\alpha + \beta + \gamma > \pi$ alors $\text{Card}(X_{\mathcal{G}}) = 2$.

Corollaire 2. Si \mathcal{G} un écimaèdre labellé qui vérifie les conditions du théorème d'Andreev alors $X_{\mathcal{G}}$ est difféomorphe à $\mathbb{R}^{d(\mathcal{G})}$.

Remarque. L'hypothèse d'ordonnabilité de Choi n'est pas plus faible que notre hypothèse. Nous avons supposé que les graphes labellés étaient des graphes de valence 3, et dans ce cas, on peut montrer que, si \mathcal{G} est un graphe labellé ordonnable, alors le graphe sous-jacent à \mathcal{G} est un écimaèdre combinatoire. Mais il existe des graphes planaires et 3-connexes de valence supérieure à 3 qui sont ordonnables (s'ils sont labellés correctement). Il faut noter que pour construire un convexe divisible via la méthode de Vinberg, une condition nécessaire est que le polyèdre de départ soit de valence 3.

Remarque. Pour calculer $\kappa(\mathcal{G})$ nous allons retirer certaines arêtes de l'arbre $\mathcal{A}_{\mathcal{G}}$ et nous obtiendrons une forêt que l'on notera $\mathcal{F}_{\mathcal{G}}$. Puis on introduira la notion d'orientation partielle et d'orientation partielle admissible de la forêt $\mathcal{F}_{\mathcal{G}}$ (voir partie 3.7). Enfin on démontrera que $\kappa(\mathcal{G})$ est le nombre d'orientation partielle admissible de la forêt $\mathcal{F}_{\mathcal{G}}$ (voir théo 4).

Remarque. Nous énoncerons à la fin de ce texte le théorème 4 qui précise la partie 1) du théorème 3 en donnant une paramétrisation précise de $X_{\mathcal{G}}$.

Nous allons commencer par les points 2 et 3 qui sont beaucoup plus faciles à montrer. Puis nous nous attaquerons à la démonstration des points 1) et 4).

3.3 Démonstration des points 2 et 3

Lemme 1. Soit P un polyèdre miroir, soient s et t deux faces quelconques de P . Alors $-\alpha_s(v_t) \geq 0$ et $-\alpha_s(v_t) = 0$ si et seulement si s et t partagent une arête d'ordre 2.

Démonstration. Si s et t sont adjacentes alors le lemme est clair. Par conséquent, soient s et t deux faces non adjacentes de P , et r_1, \dots, r_k les faces de P adjacentes à t . Comme P est un polyèdre convexe, les inégalités $-\alpha_{r_i}(v_t) \geq 0$ pour $i = 1 \dots k$ et l'égalité $\alpha_t(v_t) = 2$ entraînent l'inégalité $-\alpha_s(v_t) > 0$. \square

Le lemme suivant démontre le point 3) et un résultat sur les 3-circuits prismatiques affines ou sphériques qui nous sera utile à plusieurs reprises.

Lemme 2. *Soit \mathcal{G} un graphe labellé tel que $X_{\mathcal{G}} \neq \emptyset$. Alors tout 3-circuit prismatique, affine ou sphérique Γ de \mathcal{G} possède au plus un angle droit. Et s'il en possède un alors $\mathcal{G} = \mathcal{G}_{\alpha, \frac{\pi}{2} - \alpha, \frac{\pi}{2}}$ et $X_{\mathcal{G}}$ est un singleton.*

Démonstration. Soient P un polyèdre miroir qui réalise \mathcal{G} et Γ un 3-circuit orienté prismatique avec angle droit, affine ou sphérique.

Commençons par numéroté de 1 à 3 les faces qui forment Γ de telle sorte que l'arête adjacente aux faces 1 et 2 soit d'ordre 2. Γ est prismatique donc il existe une face à gauche de Γ et une à droite de Γ qu'on numérote 4 et 5. On peut supposer que l'on a la configuration suivante dans une base $(e_j)_{j=1..4}$ de \mathbb{R}^4 : $\alpha_i = -e_i^*$ pour $i = 1..4$ et $\alpha_5 = -e_1^* - e_2^* - e_3^* + e_4^*$. Soient v_{ij} les coordonnées de $(v_i)_{i=1..5}$. On a :

$$\begin{aligned} v_1 &= (-2, 0, v_{13}, v_{14}) \\ v_2 &= (0, -2, v_{23}, v_{24}) \\ v_3 &= (v_{31}, v_{32}, -2, v_{34}) \end{aligned}$$

Le lemme nous affirme que $v_{ij} \geq 0$ pour $i \neq j$ et que les inégalités suivantes doivent être vérifiées :

$$\left\{ \begin{array}{l} -\alpha_5(v_1) \geq 0 \implies v_{13} \geq 2 + v_{14}, \\ -\alpha_5(v_2) \geq 0 \implies v_{23} \geq 2 + v_{24}, \\ -\alpha_5(v_3) \geq 0 \implies \frac{\mu_{13}}{v_{13}} + \frac{\mu_{23}}{v_{23}} \geq 2 + v_{34}. \end{array} \right.$$

Donc $v_{13} \geq 2$ et $v_{23} \geq 2$ et ainsi, $\mu_{13} + \mu_{23} \geq 4$ et donc $\theta_{13} + \theta_{23} \leq \frac{\pi}{2}$. Or, $\theta_{13} + \theta_{23} \geq \frac{\pi}{2}$ (car Γ est affine ou sphérique) donc $\theta_{13} + \theta_{23} = \frac{\pi}{2}$, et $\mu_{13} + \mu_{23} = 4$. Il vient finalement que $v_{13} = v_{23} = 2$, puis $v_{14} = v_{24} = v_{34} = 0$, et enfin $\alpha_5(v_1) = \alpha_5(v_2) = \alpha_5(v_3) = 0$. Les faces 4 et 5 sont donc adjacentes aux faces 1, 2 et 3, d'après le lemme 1.

Ainsi, le polyèdre miroir obtenu à l'aide des faces 1,2,3,4,5 de P réalise un $\mathcal{G}_{\theta, \frac{\pi}{2} - \theta}$ pour un certain $\theta \in]0, \frac{\pi}{2}[$ et le P est clairement unique puisque les coordonnées des vecteurs $(v_i)_{i=1..5}$ ont été calculées explicitement. \square

Maintenant, on peut montrer le point 2).

Démonstration (du point 2). On a par hypothèse $d(\mathcal{G}) < 0$ et $m(\mathcal{G}) = 0$ donc \mathcal{G} contient au plus un 3-circuit prismatique car chaque 3-circuit prismatique possède au moins 2 arêtes d'ordre différent de 2 (lemme 2), et $e_+ < 3$.

Les seuls écimaèdres qui possèdent au plus un 3-circuit prismatique sont le tétraèdre combinatoire et le prisme triangulaire combinatoire.

Commençons par le cas où le graphe sous-jacent à \mathcal{G} est un prisme triangulaire combinatoire. On a supposé que $d(\mathcal{G}) < 0$ donc \mathcal{G} possède au moins 7 arêtes d'ordre 2, et comme $m(\mathcal{G}) = 0$, \mathcal{G} possède exactement 7 arêtes d'ordre 2. Donc $\mathcal{G} = \mathcal{G}_{\alpha, \beta}$ pour un certain couple $(\alpha, \beta) \in]0, \frac{\pi}{2}[^2$ tels que $\alpha + \beta < \frac{\pi}{2}$. Un calcul simple et similaire au calcul de la partie précédente montre que $X_{\mathcal{G}} = \emptyset$.

Il nous reste le cas où le graphe sous-jacent à \mathcal{G} est un tétraèdre combinatoire. La démonstration de ce point sera fait au paragraphe 3.10.1 proposition 2, où l'on calcule l'espace des modules d'un tétraèdre labellé marqué quelconque. \square

3.4 Plan de la démonstration des points 1) et 4)

A partir de maintenant tous les graphes labellés que l'on considère vérifient $m(\mathcal{G}) = 0$.

La démonstration se déroule en 6 étapes :

1. Comme les 3-circuits vont jouer un rôle essentiel dans la compréhension des polyèdres miroirs, nous allons commencer par nous intéresser aux triangles miroirs. C'est la partie 3.5.
2. L'idée pour comprendre l'espace $X_{\mathcal{G}}$ est de découper les polyèdres miroirs qui réalisent \mathcal{G} le long de leurs 3-circuits prismatiques. On obtient ainsi des polyèdres miroirs qui réalisent des blocs fondamentaux. Les démonstrations des lemmes nécessaires à la construction des blocs fondamentaux et des plans pour découper P est l'objet de la partie 3.6.
3. Une bonne méthode pour comprendre les composantes connexes de $X_{\mathcal{G}}$ est de parler d'orientation partielle admissible de la forêt $\mathcal{F}_{\mathcal{G}}$. Nous donnerons les définitions de tout ceci dans la partie 3.7.
4. Pour que la bijection entre les composantes connexes de $X_{\mathcal{G}}$ et les orientations partielles admissibles de $\mathcal{F}_{\mathcal{G}}$ soit la plus simple possible, il faut introduire un outil technique : les systèmes puits-source de 3-circuits de \mathcal{G} . Ceci sera fait dans la partie 3.8.
5. Il faut ensuite comprendre $X_{\mathcal{G}}$ pour les blocs fondamentaux et les prismes exceptionnels sans angle droit, ce qui est fait dans la partie 3.10.
6. Enfin, une fois que l'on a découpé P en blocs fondamentaux, il faut comprendre comment on peut les recoller, c'est la partie 3.11.

3.5 Les triangles miroirs

Commençons par donner quelques définitions pour rendre nos énoncés précis.

Definition 19. On appellera *triangle combinatoire* le graphe complet à 3 sommets. Un triangle *labellé* est la donnée d'un triangle combinatoire \mathcal{T} et pour chaque sommet s de \mathcal{T} d'un réel $\theta \in]0, \frac{\pi}{2}]$. Un triangle combinatoire est dit *marqué* lorsque que l'on a numéroté ses arêtes de 1 à 3. On a une définition analogue à celle des paragraphes précédents de triangle avec angle droit, sans angle droit, affine, sphérique, hyperbolique, projectif, miroir, marqué et aussi d'espace des modules de triangles miroirs marqués.

Remarque. Le marquage de \mathcal{T} nous fournit une orientation naturelle de \mathcal{T} .

Proposition 1. *Soit \mathcal{T} un triangle labellé marqué, et $X_{\mathcal{T}}$ l'espace des modules associés.*

- *Si \mathcal{T} ne possède aucun sommet d'ordre 2 alors $X_{\mathcal{T}}$ est difféomorphe à \mathbb{R} . De plus, si l'on numérote les arêtes de T via le marquage de \mathcal{T} , alors l'application :*

$$T \mapsto R_T = \log \left(\frac{\alpha_1(v_2)\alpha_2(v_3)\alpha_3(v_1)}{\alpha_1(v_3)\alpha_3(v_2)\alpha_2(v_1)} \right)$$

est un difféomorphisme de $X_{\mathcal{T}}$ sur \mathbb{R} .

- *Si \mathcal{T} possède un sommet d'ordre 2 alors $X_{\mathcal{T}}$ est un singleton.*

Démonstration. On ne démontre que le cas où tous les sommets sont d'ordre différent de 2, l'autre cas se démontre par un calcul analogue. Numérotons les faces de \mathcal{T} de 1 à 3, et notons $(e_i)_{i=1\dots 3}$ la base canonique de \mathbb{R}^3 . On peut supposer que $\alpha_i = -e_i^*$. Le stabilisateur de $\alpha_1, \alpha_2, \alpha_3$ dans $\mathrm{SL}_3^\pm(\mathbb{R})$ est l'ensemble des matrices diagonales, on peut donc supposer que dans la base $(e_i)_{i=1\dots 3}$, $v_1 = (-2, \sqrt{\mu_{12}}, \sqrt{\mu_{13}})$. Le stabilisateur de $\alpha_1, \alpha_2, \alpha_3$ et v_1 est réduit à l'identité. Les équations sur v_2 et v_3 nous permettent d'écrire ces derniers sous la forme suivante : $v_2 = (\sqrt{\mu_{12}}, -2, \sqrt{\mu_{23}x})$ et $v_3 = (\sqrt{\mu_{13}}, \frac{\sqrt{\mu_{23}}}{x}, -2)$, avec $x \in \mathbb{R}_+^*$. Ceci montre que l'application $T \mapsto \log \left(\frac{\alpha_1(v_2)\alpha_2(v_3)\alpha_3(v_1)}{\alpha_1(v_3)\alpha_3(v_2)\alpha_2(v_1)} \right) = -2\log(x)$ est un difféomorphisme de $X_{\mathcal{T}}$ sur \mathbb{R} . \square

Soit \mathcal{T} un triangle labellé marqué. Les quantités suivantes vont se révéler cruciales dans la suite. On note $\Sigma = \mu_{12} + \mu_{23} + \mu_{31}$, $p = \sqrt{\mu_{12}\mu_{23}\mu_{31}}$. Lorsque T est sphérique, on définit aussi la quantité $r_T = \frac{1}{2} \log \left(\frac{4 - \Sigma + ((4 - \Sigma)^2 - p^2)^{\frac{1}{2}}}{p} \right) > 0$.

Lemme 3. *Soit T un triangle miroir marqué. On note $[v_1], [v_2], [v_3]$ les polaires des arêtes de T . La famille (v_1, v_2, v_3) est liée si et seulement si on est dans l'un des 3 cas suivants :*

- 1) T est affine avec angle droit.
- 2) T est affine sans angle droit et $R_T = 0$.
- 3) T est sphérique sans angle droit et $|R_T| = r_T$.

Démonstration. Commençons par le cas où Γ est avec angle droit. Alors on vient de montrer qu'il n'existe qu'un seul triangle miroir marqué T qui réalise \mathcal{T} , à transformation projective près. Par suite, si \mathcal{T} est sphérique (resp affine resp hyperbolique), alors T est l'unique triangle (à similitude près) de la géométrie sphérique (resp semblable resp hyperbolique) qui réalise T . Et dans ce cadre, notre théorème est bien connu.

On suppose à présent \mathcal{T} sans angle droit et on pose $D = \det(v_1, v_2, v_3)$. Un calcul simple donne $D = pe^{\frac{R_T}{2}} + pe^{-\frac{R_T}{2}} + 2(\Sigma - 4)$. On pose $P(x) = px^2 - 2(4 - \Sigma)x + p$; ainsi $D = e^{-\frac{R_T}{2}} P(e^{\frac{R_T}{2}})$. Si Δ est le discriminant de P , on a $\Delta = 4(\Sigma - 4 - p)(\Sigma - 4 + p)$. Commençons par remarquer que comme $p > 0$, si les racines de P sont réelles alors elles sont toutes les deux du signe de $4 - \Sigma$. Ensuite, un peu de trigonométrie nous montre que

$$4 - \Sigma - p = -16 \cos \left(\frac{\theta_{12} + \theta_{23} + \theta_{31}}{2} \right) \cos \left(\frac{\theta_{12} - \theta_{23} + \theta_{31}}{2} \right) \cos \left(\frac{\theta_{12} + \theta_{23} - \theta_{31}}{2} \right) \cos \left(\frac{-\theta_{12} + \theta_{23} + \theta_{31}}{2} \right).$$

On remarque que comme les angles sont aigus le produit des 3 derniers membres est positif ou nul.

On distingue donc 3 cas :

- 1) Si T est sphérique, alors $4 - \Sigma - p > 0$, par suite $\Delta > 0$ et $4 - \Sigma > 0$. Les racines u_T, u_T^{-1} sont donc réelles, strictement positives et inverses l'une de l'autre. On peut supposer que $u_T > 1$ et en remarquant que $r_T = \frac{\log(u_T)}{2}$, on obtient le résultat annoncé.
- 2) Si T est affine, alors $4 - \Sigma - p = 0$; par suite $\Delta = 0$ et $4 - \Sigma > 0$, et ainsi 1 est racine double.
- 3) Si T est hyperbolique, alors $4 - \Sigma - p < 0$. Alors soit $4 - \Sigma + p \leq 0$ et les racines de P sont strictement négatives ou $4 - \Sigma + p > 0$ et les racines de P sont complexes. \square

Notations. Soient P un polyèdre miroir et Γ un 3-circuit orienté de \mathcal{G} . Γ définit un triangle labellé marqué T dont les sommets sont les arêtes traversées par Γ , les arêtes sont les faces traversées par Γ , les labels portés par les sommets sont les labels portés par les arêtes de Γ , et on marque les arêtes

à l'aide de l'orientation de Γ . On notera $R_\Gamma(P)$ le réel R_T introduit dans l'énoncé du lemme 1 ; si T est sphérique, on notera r_Γ le réel r_T introduit avant le lemme 3 et si T est affine, on pose $r_\Gamma = 0$.

Plus généralement, si (f_1, \dots, f_k) est une suite de faces de P , on peut définir la quantité suivante :

$$R_{(f_1, \dots, f_k)}(P) = \log \left(\frac{\alpha_{f_1}(v_{f_2}) \alpha_{f_2}(v_{f_3}) \cdots \alpha_{f_k}(v_{f_1})}{\alpha_{f_1}(v_{f_k}) \alpha_{f_2}(v_{f_1}) \cdots \alpha_{f_k}(v_{f_{k-1}})} \right).$$

Ainsi, lorsque Γ est un 3-circuit orienté, il définit naturellement une suite de faces et l'on retrouve la définition précédente.

Lorsqu'il n'y a pas d'ambiguïté, on allégera les notations en notant $R_{(f_1, \dots, f_k)}(P) = R_{(f_1, \dots, f_k)}$ et $R_\Gamma(P) = R_\Gamma$.

3.6 Les lemmes de coupe

On cherche tout d'abord à construire les blocs fondamentaux miroirs en coupant un tétraèdre miroir le long de ses 3-circuits. C'est l'objet des lemmes des deux prochains paragraphes. Ensuite, on se donne un polyèdre miroir P et on souhaite découper P le long de ses 3-circuits prismatiques pour obtenir des blocs fondamentaux. Nous allons avoir besoin des définitions suivantes :

Definition 20. Soient P un polyèdre miroir et Γ un 3-circuit de P qui traverse les faces r, s, t de P . On désignera par Π_Γ le sous-espace projectif engendré par les points polaires $[v_r], [v_s], [v_t]$. On dira que Π_Γ coupe P le long de Γ lorsque Π_Γ est un plan et l'intersection de Π_Γ avec les arêtes de P est incluse dans les arêtes ouvertes associées aux faces r, s, t .

Definition 21. Soient \mathcal{G} un graphe labellé et Γ un 3-circuit prismatique de \mathcal{G} . On dit que Γ est *essentiel* lorsque Γ n'entoure pas une face triangulaire dont les arêtes sont toutes d'ordre 2.

Nous montrerons que, pour tout polyèdre miroir P de $X_{\mathcal{G}}$ et tout 3-circuit prismatique essentiel Γ , le plan Π_Γ coupe P le long de Γ . On peut donc définir la coupe *droite* P_Γ^d (resp *gauche* P_Γ^g) de P le long de Γ comme le polyèdre miroir obtenu en retirant les faces et les réflexions par rapport aux faces à gauche (resp droite) de Γ et en ajoutant l'unique réflexion par rapport au plan Π_Γ qui commute avec les réflexions associées aux faces traversées par Γ .

Remarque. Lorsqu'il n'y a pas d'ambiguïté sur le 3-circuit Γ . On allégera les notations P_Γ^d et P_Γ^g en notant $P_\Gamma^d = P^d$ et $P_\Gamma^g = P^g$.

3.6.1 Lemme d'écimage

Lemme 4. Soient P un polyèdre miroir et Γ un 3-circuit orienté de P . Le sous-espace Π_Γ est un plan sauf si les conditions 1)2)3) ou 1)2)3)' ou 1)2)3)'' sont réunies.

- 1) P est un tétraèdre ou un prisme.
- 2) Les arêtes des faces qui ne sont pas traversées par Γ sont d'ordre 2.
- 3) Γ est affine sans angle droit et $R_\Gamma = 0$.
- 3)' Γ est sphérique sans angle droit et $|R_\Gamma| = r_\Gamma$.
- 3)'' Γ est affine avec angle droit.

Démonstration. Soient s_1, s_2, s_3 les faces de P traversées par Γ . Soit s_4 une face quelconque de P différente de s_1, s_2, s_3 . On peut supposer que les faces $(s_i)_{i=1,\dots,4}$ sont définies par les formes linéaires $(-e_i^*)_{i=1,\dots,4}$, où $(e_i)_{i=1,\dots,4}$ est une base de \mathbb{R}^4 , car P est un polyèdre convexe. Π_Γ n'est pas un plan si et seulement si la matrice $M = (-\alpha_j(v_i))_{j=1\dots4, i=1\dots3}$ est de rang 2, donc si et seulement si tous les mineurs de taille 3 extraits de la matrice M sont nuls. On a :

$$M = \begin{pmatrix} -2 & v_{21} & v_{31} \\ v_{12} & -2 & v_{32} \\ v_{13} & v_{23} & -2 \\ v_{14} & v_{24} & v_{34} \end{pmatrix}$$

Où, les v_{ij} désignent les coordonnées de $(v_i)_{i=1\dots3}$ dans la base $(e_j)_{j=1\dots4}$.

Le mineur obtenu en rayant la dernière ligne nous donne le déterminant du lemme 3. Donc, si Π_Γ n'est pas un plan, alors l'une des conditions 3), 3)' ou 3)'' est réalisées.

Calculons à présent le mineur D_1 obtenu en rayant la 1ère ligne :

$$D_1 = v_{12}(v_{23}v_{34} + 2v_{24}) + v_{13}(2v_{34} + v_{32}v_{24}) + v_{14}(4 - \mu_{23}).$$

Le lemme 1 montre que $v_{ij} \geq 0$ pour $i \neq j$; de plus $\mu_{23} < 4$ et donc $v_{14} = 0$.

De la même façon, le calcul des mineurs obtenus en rayant la 2ème et la 3ème ligne montre que $v_{24} = v_{34} = 0$. Le lemme 1 montre donc que la face s_4 est adjacente à s_1, s_2 et s_3 . Les conditions 1) et 2) sont alors réalisées car il y a au plus 2 faces adjacentes simultanément à s_1, s_2 et s_3 . \square

Lemme 5. Soient P un polyèdre miroir et Γ un 3-circuit qui entoure un sommet v . On suppose que P n'est pas un tétraèdre dont la face opposée à v ne possède que des arêtes d'ordre 2. On suppose aussi que Π_Γ est un plan. On note P_0 le polyèdre projectif sous-jacent à P .

- | | | |
|--------------------|---|--|
| 1) Si Γ est | hyperbolique
affine sans angle droit et $R_\Gamma \neq 0$
sphérique sans angle droit et $ R_\Gamma > r_\Gamma$ | alors Π_Γ coupe P le long de Γ . |
| 2) Si Γ est | affine sans angle droit et $R_\Gamma = 0$
sphérique sans angle droit et $ R_\Gamma = r_\Gamma$
affine avec angle droit | alors $\Pi_\Gamma \cap P_0 = \{v\}$. |
| 3) Si Γ est | sphérique sans angle droit et $ R_\Gamma < r_\Gamma$
sphérique avec angle droit | alors $\Pi_\Gamma \cap P_0 = \emptyset$. |

Démonstration. Soient $(s_i)_{i=1,\dots,3}$ les faces de P traversées par Γ et soit s_4 une face quelconque de P . On peut supposer que les $(s_i)_{i=1,\dots,4}$ sont définies par $\alpha_{s_i} = -e_i^*$ pour $i = 1\dots4$ dans une base $(e_i)_{i=1\dots4}$ de \mathbb{R}^4 . Soit Π_Γ le sous-espace engendré par les points polaires $[v_1], [v_2]$ et $[v_3]$. On a supposé que Π_Γ est un plan, il est donc défini par une équation de la forme $\{ax_1 + bx_2 + cx_3 + dx_4 = 0\}$, où $a, b, c, d \in \mathbb{R}$.

On définit les trois points M_1, M_2 et M_3 , par $M_1 = \Pi_\Gamma \cap \{\alpha_2 = 0\} \cap \{\alpha_3 = 0\}$, $M_2 = \Pi_\Gamma \cap \{\alpha_3 =$

$0\} \cap \{\alpha_1 = 0\}$, $M_3 = \Pi_\Gamma \cap \{\alpha_1 = 0\} \cap \{\alpha_2 = 0\}$. Ainsi, on obtient : $M_1 = [-d : 0 : 0 : a]$, $M_2 = [0 : -d : 0 : b]$ et $M_3 = [0 : 0 : -d : c]$.

Introduisons la quantité $D = \begin{vmatrix} -2 & v_{21} & v_{31} \\ v_{12} & -2 & v_{32} \\ v_{13} & v_{23} & -2 \end{vmatrix}$,

où, les v_{ij} désignent les coordonnées de $(v_i)_{i=1..3}$ dans la base $(e_j)_{j=1..4}$.

Commençons par supposer que $D \neq 0$. Cette hypothèse revient à se placer dans les cas 1) et 3) et on a alors $d \neq 0$. On peut donc supposer, pour fixer les idées, $d = -1$.

A présent, les formules de Cramer, nous permettent de calculer a . On a $aD = v_{14}(4 - \mu_{23}) + v_{24}(2v_{12} + v_{13}v_{23}) + v_{34}(v_{12}v_{23} + 2v_{13})$.

Tout d'abord, il est clair qu'au plus une des quantités v_{12} , v_{13} , v_{23} est nulle. Sinon on aurait un 3-circuit prismatique avec deux angles droits. De plus, on a supposé que P n'était pas un tétraèdre où la face opposée à v ne possédait que des arêtes d'ordre 2. Par conséquent, l'une des arêtes de la face 4 n'est pas d'ordre 2. Il vient donc que v_{14} ou v_{24} ou v_{34} est strictement positif. Il est donc clair à présent que $aD > 0$.

Le cas 1) est caractérisé par le fait que $D > 0$ et le cas 3) par le fait que $D < 0$, donc comme le membre de droite est strictement positif, on obtient le signe de a . De la même façon, on obtient les signes de b et c . Ainsi, si on est dans le cas 1), alors on a $\alpha_i(M_j) < 0$ pour $i = 1..4$ et $j = 1..3$, et on obtient le résultat souhaité, car s_4 est une face quelconque de P . Et si on est dans le cas 3), alors on obtient de façon analogue $\Pi_\Gamma \cap P_0 = \emptyset$.

Il reste à traiter le cas 2), mais dans ce cas, on a $D = 0$, donc $d = 0$, et par suite les points M_1, M_2 et M_3 sont confondus et égaux à v . Ce qui conclut la démonstration. \square .

3.6.2 Lemme de non-chevauchement

Lemme 6. Soient P un polyèdre miroir, u, v deux sommets de P reliés par une arête e . Soit Γ_u (resp Γ_v) un 3-circuit qui entoure u (resp v). On suppose que Π_{Γ_u} (resp Π_{Γ_v}) coupe P le long de Γ_u (resp Γ_v). Si P_0 désigne le polyèdre projectif sous-jacent à P , alors $P_0 \cap \Pi_{\Gamma_u} \cap \Pi_{\Gamma_v} = \emptyset$.

Démonstration. On peut supposer que l'arête e est adjacente aux faces 1 et 2, que u (resp v) est le sommet partagé par les faces 1, 2 et 3 (resp 4). Soit $D = \Pi_{\Gamma_u} \cap \Pi_{\Gamma_v}$ la droite de \mathbb{S}^3 qui contient v_1 et v_2 . On peut la paramétrer par $[x : y] \in \mathbb{S}(\mathbb{R}^2) \mapsto [xv_1 + yv_2] \in \mathbb{S}^3$. Supposons que $P_0 \cap \Pi_{\Gamma_u} \cap \Pi_{\Gamma_v} \neq \emptyset$; alors il existe $x, y \in \mathbb{R}$ tels que :

$$\begin{cases} -\alpha_3([xv_1 + yv_2]) & = xv_{31} + yv_{32} \geq 0 \\ -\alpha_4([xv_1 + yv_2]) & = xv_{41} + yv_{42} \geq 0 \\ -\alpha_1([xv_1 + yv_2]) & = -2x + yv_{12} \geq 0 \\ -\alpha_2([xv_1 + yv_2]) & = xv_{21} - 2y \geq 0 \end{cases}$$

Nous allons montrer que ceci est absurde. Pour cela commençons par montrer que x ou y est positif ou nul.

Supposons que x et y sont strictement négatifs. Alors $v_{31} = v_{32} = v_{41} = v_{42} = 0$, ce qui entraîne que $\theta_{31} = \theta_{32} = \theta_{41} = \theta_{42} = \frac{\pi}{2}$, donc Γ_u et Γ_v sont sphériques avec angle droit. Le lemme 5 nous montre qu'alors, les plans Π_{Γ_u} et Π_{Γ_v} ne coupent pas P le long de Γ_u et Γ_v , ce qui est contraire à notre hypothèse. Donc x ou y est positif ou nul.

Montrons à présent que x et y sont positifs ou nuls en distinguant les cas $\theta_{12} \neq \frac{\pi}{2}$ et $\theta_{12} = \frac{\pi}{2}$.

Si $\theta_{12} \neq \frac{\pi}{2}$, alors les deux dernières inégalités nous montrent que x et y sont positifs ou nuls puisqu'alors v_{12} et v_{21} sont strictement positifs.

Si $\theta_{12} = \frac{\pi}{2}$, alors $v_{12} = v_{21} = 0$ et par suite, x et y sont négatifs ou nuls. Il vient que x ou y est nul. Supposons que $x = 0$. Alors y est strictement négatif et par conséquent $v_{32} = v_{42} = 0$. Par suite, $\theta_{23} = \theta_{24} = \frac{\pi}{2}$, ce qui contredit le fait que les plans Π_{Γ_u} et Π_{Γ_v} coupent P le long de Γ_u et Γ_v . Il en est de même si on suppose que $y = 0$, donc x et y sont positifs ou nuls.

Dans tous les cas, il vient que x ou y est strictement positif, et donc les deux dernières inégalités nous montrent que x , y , v_{12} et v_{21} sont strictement positifs, et enfin que $v_{12}v_{21} = \mu_{12} \geq 4$, ce qui contredit le fait que $\theta_{12} > 0$. \square

3.6.3 Lemme de coupe le long d'un 3-circuit prismatique

Lemme 7. *Soient P un polyèdre miroir et Γ un 3-circuit prismatique essentiel. Alors Π_Γ coupe P le long de Γ .*

Démonstration. Comme Γ est essentiel, le lemme 4 nous permet d'affirmer que Π_Γ est un plan. On suppose que les faces traversées par Γ sont numérotées de 1 à 3. On se donne une face adjacente à l'une des faces 1, 2 ou 3, et on la numérote 4. Comme Γ est prismatique essentiel, l'un des points polaires $[v_1], [v_2], [v_3]$ n'appartient pas au plan défini par la face 4, donc le plan projectif engendré par $[v_1], [v_2], [v_3]$ coupe les arêtes du tétraèdre formées par les faces 1,2,3 et 4 à l'intérieur des arêtes qui ne sont pas sur la face 4. Comme la face 4 est une face adjacente quelconque et Γ est prismatique, Π_Γ coupe P le long de Γ . \square

3.7 La forêt \mathcal{F}_G et son orientation

3.7.1 Classification des arêtes de \mathcal{A}_G

Les paragraphes précédents nous permettent de regrouper les 3-circuits de \mathcal{G} en quatre familles, et de définir en conséquence l'ensemble I_Γ^G des valeurs possibles pour la quantité R_Γ .

- | | | | | | |
|----|----------------------------------|------------------|-----------------|-------|---|
| 1. | Γ est affine ou sphérique | avec angle droit | prismatique | alors | $I_\Gamma^{\mathcal{G}} = \emptyset$ |
| 2. | Γ est hyperbolique | avec angle droit | quelconque | alors | $I_\Gamma^{\mathcal{G}} = \{0\}$ |
| | Γ est affine ou sphérique | avec angle droit | non prismatique | alors | $I_\Gamma^{\mathcal{G}} = \{0\}$ |
| 3. | Γ est hyperbolique | sans angle droit | quelconque | alors | $I_\Gamma^{\mathcal{G}} = \mathbb{R}$ |
| | Γ est affine ou sphérique | sans angle droit | non prismatique | alors | $I_\Gamma^{\mathcal{G}} = \mathbb{R}$ |
| 4. | Γ est affine ou sphérique | sans angle droit | prismatique | alors | $I_\Gamma^{\mathcal{G}} = \mathbb{R} - [-r_\Gamma, r_\Gamma]$ |

Si \mathcal{G} est un écimaèdre labellé, alors les arêtes de $\mathcal{A}_{\mathcal{G}}$ sont par définition en bijection avec les 3-circuits de \mathcal{G} . On a donc une définition naturelle d'arête affine, sphérique, hyperbolique, sans angle droit, avec angle droit, prismatique et enfin, non prismatique.

Remarque. On rappelle que l'on suppose toujours, depuis le paragraphe 3.4, que tout écimaèdre labellé vérifie $m(\mathcal{G}) = 0$, il n'y a donc pas d'arête du type 1 de la classification que l'on vient de donner dans $\mathcal{A}_{\mathcal{G}}$.

Definition 22. Soit \mathcal{G} un écimaèdre labellé. La forêt associée à \mathcal{G} est la forêt obtenue en supprimant les arêtes avec angle droit de l'arbre $\mathcal{A}_{\mathcal{G}}$. Les arêtes (resp les 3-circuits de \mathcal{G}) de $\mathcal{F}_{\mathcal{G}}$ se séparent en deux familles via la classification énoncée plus haut :

- les arêtes (resp les 3-circuits) prismatiques sans angle droit hyperboliques ou non-prismatiques sans angle droit quelconques ;
- les arêtes (resp les 3-circuits) prismatiques sans angle droit affines ou sphériques que nous désignerons dorénavant par le terme *spéciales* (resp *spéciaux*).

3.7.2 Orientation de la forêt $\mathcal{F}_{\mathcal{G}}$

Definition 23. Soit \mathcal{F} une forêt orientée. On dira qu'un sommet s de \mathcal{F} est un *puits* (resp une *source*) lorsque toutes les arêtes incidentes à s possèdent le même but (resp la même source).

Definition 24. Soit \mathcal{G} un écimaèdre labellé, et $\mathcal{F}_{\mathcal{G}}$ la forêt associée.

- Une *orientation globale admissible* de $\mathcal{F}_{\mathcal{G}}$ est une orientation de $\mathcal{F}_{\mathcal{G}}$ qui ne contient aucun sommet de valence 4 qui soit un puits ou une source.
- Une *orientation partielle* de $\mathcal{F}_{\mathcal{G}}$ est une orientation de toutes les arêtes spéciales de $\mathcal{F}_{\mathcal{G}}$.
- Une *orientation partielle admissible* de $\mathcal{F}_{\mathcal{G}}$ est une orientation partielle de $\mathcal{F}_{\mathcal{G}}$ tel qu'il existe une orientation globale admissible de $\mathcal{F}_{\mathcal{G}}$ qui la prolonge.

Nous allons voir que si \mathcal{G} est un écimaèdre labellé alors les composantes connexes de $X_{\mathcal{G}}$ sont en bijection avec les orientations partielles admissibles de la forêt $\mathcal{F}_{\mathcal{G}}$. Cette bijection est construite à l'aide du signe des quantités $R_\Gamma(P)$, où Γ est un 3-circuit orienté spécial de \mathcal{G} et P un polyèdre projectif miroir qui réalise \mathcal{G} . Pour uniformiser la construction de cette bijection, il faut choisir correctement un système de 3-circuits orientés. Nous appellerons ces systèmes les systèmes puits-source de 3-circuits et nous allons les définir dès à présent.

3.8 Système puits-source de $\mathcal{A}_{\mathcal{G}}$

3.8.1 Orientation d'une arête de $\mathcal{A}_{\mathcal{G}}$ induite par l'orientation d'un 3-circuit de \mathcal{G}

Chaque arête e de $\mathcal{A}_{\mathcal{G}}$ définit une tripartition des arêtes de $\mathcal{G} : \{e\}$ et les deux composantes connexes de $\mathcal{A}_{\mathcal{G}} - \{e\}$. Le choix d'une orientation de l'arête e permet de distinguer les deux composantes connexes de $\mathcal{A}_{\mathcal{G}} - \{e\}$. On a celle donnée par le but de l'arête orientée e et celle donnée par sa source.

De même, chaque 3-circuit Γ de \mathcal{G} définit une tripartition des 3-circuits de \mathcal{G} . Le choix d'une orientation du 3-circuit Γ permet de les distinguer. On a le 3-circuit Γ , les 3-circuits de \mathcal{G} à droite de Γ et les 3-circuits de \mathcal{G} à gauche de Γ .

Il est évident que la bijection entre les 3-circuits de \mathcal{G} et les arêtes de $\mathcal{A}_{\mathcal{G}}$ respecte cette tripartition. On a donc une définition naturelle d'orientation d'une arête de $\mathcal{A}_{\mathcal{G}}$ induite par l'orientation d'un 3-circuit de \mathcal{G} .

Definition 25. Soient \mathcal{G} un graphe labellé, Γ un 3-circuit orienté de \mathcal{G} et e l'arête correspondante de l'arbre $\mathcal{A}_{\mathcal{G}}$. On dira que e est orienté dans le *sens* (resp *sens contraire*) de Γ lorsque l'orientation de e est telle que la composante connexe de $\mathcal{A}_{\mathcal{G}} - \{e\}$ donnée par le but (resp la source) de l'arête orientée e correspond aux 3-circuits de \mathcal{G} à droite de Γ .

3.8.2 Système puits-source de $\mathcal{A}_{\mathcal{G}}$

Definition 26. Soit \mathcal{G} un écimaèdre labellé, un *système puits-source de 3-circuits de \mathcal{G}* est le choix d'une orientation de chaque 3-circuit de \mathcal{G} , de telle sorte que si toutes les arêtes de l'arbre $\mathcal{A}_{\mathcal{G}}$ sont orientées dans le sens des 3-circuits orientés choisis, alors tous les sommets de $\mathcal{A}_{\mathcal{G}}$ sont des puits ou des sources.

Remarque. Quelque soit l'écimaèdre labellé \mathcal{G} , on peut toujours trouver un système puits-source puisque $\mathcal{A}_{\mathcal{G}}$ est un arbre.

3.9 Orientation partielle et globale de $\mathcal{F}_{\mathcal{G}}$ induite par $P \in X_{\mathcal{G}}$ via un système puits-source

3.9.1 Orientation partielle induite

Definition 27. Soient \mathcal{G} un écimaèdre labellé et P un polyèdre miroir qui réalise \mathcal{G} . On suppose que l'on s'est donné un système puits-source de 3-circuits de \mathcal{G} . L'*orientation partielle induite de $\mathcal{F}_{\mathcal{G}}$ par P* est l'orientation obtenue en orientant toute arête spéciale e de $\mathcal{F}_{\mathcal{G}}$ dans le sens de Γ (l'unique 3-circuit orienté correspondant à e via notre système puits-source), lorsque $R_{\Gamma}(P) > 0$ et dans le sens contraire lorsque $R_{\Gamma}(P) < 0$.

Remarque. Il n'y a pas d'ambiguïté dans la définition précédente. Car, si Γ est un 3-circuit spécial de \mathcal{G} , alors $R_{\Gamma}(P) \neq 0$.

3.9.2 Orientation globale induite

Soit \mathcal{G} un écimaèdre labellé. On se donne un système puits-source de 3-circuit de \mathcal{G} . Supposons à présent que pour tout 3-circuit sans angle droit Γ de \mathcal{G} , on ait $R_\Gamma(P) \neq 0$. Alors on peut définir de façon analogue une *orientation globale de $\mathcal{F}_\mathcal{G}$ induite par P* via notre système puits-source.

3.9.3 Obstruction

Il faut bien faire attention au fait que toutes les orientations globales ou partielles de $\mathcal{F}_\mathcal{G}$ ne peuvent pas être induites par des polyèdres miroirs.

En effet, si on note pour chaque sommet s de $\mathcal{F}_\mathcal{G}$ de valence 4 $(\Gamma_i^s)_{i=1\dots 4}$ les quatre 3-circuits orientés via notre système puits-source, qui correspondent aux arêtes de $\mathcal{F}_\mathcal{G}$ incidentes à s . Si P est un polyèdre miroir qui réalise \mathcal{G} , alors les $(R_{\Gamma_i^s}(P))_{i=1\dots 4}$ vérifient la relation suivante :

$$R_{\Gamma_1^s} + R_{\Gamma_2^s} + R_{\Gamma_3^s} + R_{\Gamma_4^s} = 0. \quad (*)$$

Par conséquent, aucune orientation induite partielle ou globale ne peut posséder de sommet de valence 4 qui est un puits ou une source. Ce qui explique la définition d'orientation partielle ou globale admissible.

Nous allons montrer que les composantes connexes de $X_\mathcal{G}$ sont en bijection avec les orientations partielles admissibles de $\mathcal{F}_\mathcal{G}$.

3.10 Le tétraèdre miroir et les bloc fondamentaux

3.10.1 Le tétraèdre miroir

Proposition 2. *Soit \mathcal{G} un tétraèdre combinatoire labellé marqué. Alors $X_\mathcal{G}$ est difféomorphe à $\mathbb{R}^{d(\mathcal{G})}$ si $d(\mathcal{G}) \geq 0$ et est un singleton sinon.*

- *Cas 1 : Si toutes les arêtes de \mathcal{G} sont d'ordre différent de 2, on choisit un système puits-source de 3-circuits de \mathcal{G} , $\{\Gamma_1, \Gamma_2, \Gamma_3, \Gamma_4\}$. L'application $P \in X_\mathcal{G} \mapsto (R_{\Gamma_1}, R_{\Gamma_2}, R_{\Gamma_3}, R_{\Gamma_4}) \in \{(r_1, r_2, r_3, r_4) \in \mathbb{R}^4 \text{ tels que } r_1 + r_2 + r_3 + r_4 = 0\}$ est un difféomorphisme.*
- *Cas 2 : Si une seule arête de \mathcal{G} est d'ordre 2, alors \mathcal{G} possède exactement deux 3-circuits orientés (à orientation près) sans angle droit Γ_1 et Γ_2 . L'application $P \in X_\mathcal{G} \mapsto (R_{\Gamma_1}, R_{\Gamma_2}) \in \mathbb{R}^2$ est un difféomorphisme.*
- *Cas 3 : Si exactement 2 arêtes de \mathcal{G} sont d'ordre 2, et si elles sont sur la même face, alors \mathcal{G} possède exactement un 3-circuit orienté (à orientation près) Γ sans angle droit. L'application $P \in X_\mathcal{G} \mapsto R_\Gamma \in \mathbb{R}$ est un difféomorphisme.*

- Cas 4 : Si exactement 2 arêtes de \mathcal{G} sont d'ordre 2, et si elles ne sont pas sur la même face, alors il existe un unique 4-circuit sans angle droit Γ de \mathcal{G} (à orientation près). L'application $P \in X_{\mathcal{G}} \mapsto R_{\Gamma} \in \mathbb{R}$ est un difféomorphisme.
- Cas 5 : Si au moins 3 arêtes de \mathcal{G} sont d'ordre 2, alors $X_{\mathcal{G}}$ est un singleton.

Démonstration. On ne démontre la proposition que lorsque \mathcal{G} ne possède pas d'arête d'ordre 2, les autres cas se démontrent de façon analogue. Soit P un tétraèdre qui réalise $X_{\mathcal{G}}$. On procède comme pour le triangle. On note $(e_i)_{i=1\dots 4}$ la base canonique de \mathbb{R}^4 . On peut supposer que $\alpha_i = -e_i^*$ pour $i = 1\dots 4$ et $v_1 = (-2, \sqrt{\mu_{12}}, \sqrt{\mu_{13}}, \sqrt{\mu_{14}})$. Le stabilisateur de $\alpha_1, \dots, \alpha_4, v_1$ est réduit à l'identité. Les équations sur v_2, v_3, v_4 nous permettent d'écrire $v_2 = (\sqrt{\mu_{12}}, -2, \sqrt{\mu_{23}}x, \frac{\sqrt{\mu_{24}}}{y})$ et $v_3 = (\sqrt{\mu_{13}}, \frac{\sqrt{\mu_{23}}}{x}, -2, \sqrt{\mu_{34}}z)$ et enfin $v_4 = (\sqrt{\mu_{14}}, \sqrt{\mu_{24}}y, \frac{\sqrt{\mu_{34}}}{z}, -2)$ avec $x, y, z > 0$. On a alors : $R_{\Gamma_1} = -2 \ln(xyz)$, $R_{\Gamma_2} = 2 \ln(z)$, $R_{\Gamma_3} = 2 \ln(y)$ et $R_{\Gamma_4} = 2 \ln(x)$. Ce qui montre le résultat. \square

3.10.2 Les blocs fondamentaux

Proposition 3. *Soit \mathcal{G} un bloc fondamental labellé qui n'est pas un prisme exceptionnel et tel que $m(\mathcal{G}) = 0$. On se donne un système puits-source de 3-circuits de \mathcal{G} et on note $(\Gamma_i)_{i=1\dots 4}$ les quatre 3-circuits de \mathcal{G} de notre système puits-source qui viennent du tétraèdre \mathcal{T} sous-jacent à \mathcal{G} .*

L'application $P \in X_{\mathcal{G}} \mapsto Q \in X_{\mathcal{T}}$ le tétraèdre miroir sous-jacent à P est un difféomorphisme sur son image $\{Q \in X_{\mathcal{T}} \mid \forall i = 1, \dots, 4, R_{\Gamma_i}(Q) \in I_{\Gamma_i}^{\mathcal{G}}\}$. En particulier, $X_{\mathcal{G}}$ est difféomorphe à $\kappa(\mathcal{G})$ copies de $\mathbb{R}^{d(\mathcal{G})}$ où $\kappa(\mathcal{G})$ est le nombre d'orientation partielle admissible de $\mathcal{F}_{\mathcal{G}}$.

Démonstration. Soit P un polyèdre miroir de $X_{\mathcal{G}}$. Comme \mathcal{G} n'est pas un prisme exceptionnel, le lemme 4 nous montre que pour tout 3-circuit prismatique Γ de \mathcal{G} , Π_{Γ} est un plan. Par conséquent, Π_{Γ} est le plan qui contient la face triangulaire de P dont Γ fait le tour, et par suite Π_{Γ} coupe Q , le tétraèdre sous-jacent à P le long de Γ .

Considérons à présent l'application $\phi : P \in X_{\mathcal{G}} \mapsto Q \in X_{\mathcal{T}}$ le tétraèdre sous-jacent. Il est facile de voir que ϕ est un difféomorphisme sur son image. En effet, les faces de P qui ne sont pas des faces de Q sont des faces triangulaires, où toutes les arêtes sont d'ordre 2, donc les réflexions par rapport à ces faces sont entièrement déterminées par les réflexions le long des faces qui leur sont adjacentes. En effet, si Γ est un 3-circuit prismatique orienté qui fait le tour d'une telle face triangulaire U , on note $\alpha_1, \alpha_2, \alpha_3$ les 3 faces adjacentes à U . Alors, la face α_U est incluse dans le plan Π_{Γ} , et le point v_U doit vérifier les 4 équations fournies par les faces adjacentes à U et la face U , et ces équations sont indépendantes car P est un polyèdre convexe.

On suppose que les faces de \mathcal{T} sont numérotées de telle façon que le 3-circuit Γ_i soit opposé à la face i . Ainsi, $X_{\mathcal{G}}$ est en bijection via ϕ avec l'ensemble des tétraèdres de $X_{\mathcal{T}}$ tels que les plans Π_{Γ_i} coupent le sommet opposé à la face i le long de Γ_i , pour tous les i tel que Γ_i est prismatique. Les lemmes de la partie 3.6 montre que l'image de ϕ est l'ensemble $E = \{Q \in X_{\mathcal{T}} \mid \forall i = 1, \dots, 4, R_{\Gamma_i}(Q) \in I_{\Gamma_i}^{\mathcal{G}}\}$. Comme $m(\mathcal{G}) = 0$ tous les ensembles $I_{\Gamma_i}^{\mathcal{G}}$ sont non vide et ainsi la proposition 2 nous montre que E est une réunion d'ouverts convexes disjoints, naturellement indexée par les orientations partielles admissibles de $\mathcal{F}_{\mathcal{G}}$. \square

3.10.3 Les prismes exceptionnels

Proposition 4. Soit \mathcal{G} un prisme exceptionnel sans angle droit. On note Γ l'unique 3-circuit de \mathcal{G} .

- Si Γ est sphérique, alors $\text{Card}(X_{\mathcal{G}}) = 2$.
- Si Γ est affine, alors $X_{\mathcal{G}}$ est un singleton.
- Si Γ est hyperbolique, alors $X_{\mathcal{G}} = \emptyset$.

Démonstration. On numérote les faces de l'unique 3-circuit prismatique Γ de \mathcal{G} de 1 à 3, et on numérote les deux autres faces 4 et 5. On peut supposer que l'on a la configuration suivante dans une base $(e_i)_{i=1..4}$ de \mathbb{R}^4 : $\alpha_i = -e_i^*$ pour $i = 1..4$ et $\alpha_5 = -e_1^* - e_2^* - e_3^* + e_4^*$. Enfin, pour simplifier la discussion, on suppose que $\mu_{31} \geq \mu_{12}$.

On obtient ainsi que

$$X_{\mathcal{G}} = \left\{ (v_{12}, v_{23}, v_{31}) \in \mathbb{R}^3 \text{ tels que : } \begin{array}{l} v_{12}, v_{23}, v_{31} > 0 \\ v_{12} + \frac{\mu_{13}}{v_{31}} = 2 \\ v_{23} + \frac{\mu_{12}}{v_{12}} = 2 \\ v_{31} + \frac{\mu_{23}}{v_{23}} = 2 \end{array} \right\}.$$

Ainsi, si on pose $x = v_{12}$, alors $X_{\mathcal{G}}$ est en bijection avec les racines de $f(x) = \frac{\mu_{31}}{2-x} + \frac{\mu_{23}}{2-\frac{\mu_{12}}{x}} - 2$ qui appartiennent à l'intervalle $]\frac{\mu_{12}}{2}, 2[$.

On pose $\sigma = -\frac{\mu_{23} + \mu_{31} - \mu_{12} - 4}{4 - \mu_{23}}$ et $p = \frac{\mu_{12}(4 - \mu_{31})}{4 - \mu_{23}}$. On est ainsi ramené à l'étude du polynôme $Q = x^2 - 2\sigma x + p$ sur $]\frac{\mu_{12}}{2}, 2[$. On pose alors $Y = x - \sigma$, $\delta = \sigma^2 - p$, $u = \frac{\mu_{12}}{2} - \sigma$ et $v = 2 - \sigma$. On est ainsi ramené à l'étude du polynôme $R = Y^2 - \delta$ sur $]u, v[$.

Le discriminant δ de R est égal à

$$\delta = \frac{(4 - \mu_{31} - \mu_{12} - \mu_{23} - \sqrt{\mu_{31}\mu_{12}\mu_{23}})(4 - \mu_{31} - \mu_{12} - \mu_{23} + \sqrt{\mu_{31}\mu_{12}\mu_{23}})}{(4 - \mu_{23})^2}.$$

Un peu de trigonométrie nous montre que

$$4 - \mu_{31} - \mu_{12} - \mu_{23} - \sqrt{\mu_{31}\mu_{12}\mu_{23}} = -16 \cos\left(\frac{\theta_{12} + \theta_{23} + \theta_{31}}{2}\right) \cos\left(\frac{\theta_{12} - \theta_{23} + \theta_{31}}{2}\right) \cos\left(\frac{\theta_{12} + \theta_{23} - \theta_{31}}{2}\right) \cos\left(\frac{-\theta_{12} + \theta_{23} + \theta_{31}}{2}\right).$$

On remarque que, comme les angles sont aigus, le produit des 3 derniers membres est positif ou nul. Nous allons donc distinguer 2 cas :

1) Γ est sphérique (i.e $4 - \mu_{31} - \mu_{12} - \mu_{23} - \sqrt{\mu_{31}\mu_{12}\mu_{23}} > 0$) ou affine (i.e $4 - \mu_{31} - \mu_{12} - \mu_{23} - \sqrt{\mu_{31}\mu_{12}\mu_{23}} = 0$). Alors

$$\left\{ \begin{array}{l} \delta \geq 0 \\ -u = \frac{4 - \mu_{31} - \mu_{12} - \mu_{23} + \frac{\mu_{12}\mu_{23}}{2}}{4 - \mu_{23}} \geq 0 \\ v = \frac{4 - \mu_{23} + \mu_{31} - \mu_{12}}{4 - \mu_{23}} \geq 0 \\ u^2 - \delta = \frac{\mu_{12}\mu_{23}(4 - \mu_{12})}{4(4 - \mu_{23})} > 0 \\ v^2 - \delta = \frac{\mu_{31}(4 - \mu_{12})}{4 - \mu_{23}} > 0. \end{array} \right.$$

En effet, $\mu_{23} < 4$ et $\mu_{12} \leq \mu_{31}$, donc $\frac{\mu_{12}\mu_{23}}{2} < \sqrt{\mu_{31}\mu_{12}\mu_{23}}$.

Donc si Γ est sphérique, alors R possède 2 racines sur l'intervalle $]u, v[$, et si Γ est affine, alors R possède une racine double sur l'intervalle $]u, v[$.

2) Si Γ est hyperbolique, alors

$$\begin{cases} v & = \frac{4-\mu_{23}+\mu_{31}-\mu_{12}}{4-\mu_{23}} & \geq 0 \\ u^2 - \delta & = \frac{\mu_{12}\mu_{23}(4-\mu_{12})}{4(4-\mu_{23})} & > 0 \\ v^2 - \delta & = \frac{\mu_{31}(4-\mu_{12})}{4-\mu_{23}} & > 0. \end{cases}$$

Il faut de nouveau distinguer 2 cas :

Tout d'abord, si $4 - \mu_{31} - \mu_{12} - \mu_{23} - \sqrt{\mu_{31}\mu_{12}\mu_{23}} < 0$ et $4 - \mu_{31} - \mu_{12} - \mu_{23} + \sqrt{\mu_{31}\mu_{12}\mu_{23}} > 0$ alors $\delta < 0$ et les racines de R sont complexes.

Si $4 - \mu_{31} - \mu_{12} - \mu_{23} - \sqrt{\mu_{31}\mu_{12}\mu_{23}} < 0$ et $4 - \mu_{31} - \mu_{12} - \mu_{23} + \sqrt{\mu_{31}\mu_{12}\mu_{23}} \leq 0$ alors $-u = 4 - \mu_{31} - \mu_{12} - \mu_{23} + \frac{\mu_{12}\mu_{23}}{2} < 0$. En effet, $\mu_{23} < 4$ et $\mu_{12} \leq \mu_{31}$ et donc $\frac{\mu_{12}\mu_{23}}{2} < \sqrt{\mu_{31}\mu_{12}\mu_{23}}$. Les racines de R sont réelles mais à l'extérieur de $]u, v[$. \square

3.10.4 Bloc fondamentaux à structure projective fixée

Dans ce paragraphe, on cherche à comprendre l'espace des modules d'un bloc fondamental \mathcal{G} dont la structure projective d'un triangle est fixée.

Notations. Soit \mathcal{G} un bloc fondamental labellé marqué, on suppose que l'on s'est donné un système puits-source de 3-circuits de \mathcal{G} . Soit Γ un 3-circuit prismatique orienté de \mathcal{G} . On se donne $r \in I_{\Gamma}^{\mathcal{G}}$ et on pose $X_{\mathcal{G}}^r = \{P \in X_{\mathcal{G}} \mid R_{\Gamma} = r\}$.

On dira qu'une orientation de $\mathcal{F}_{\mathcal{G}}$ est *compatible avec r* lorsque r appartient à la composante connexe de $I_{\Gamma}^{\mathcal{G}}$ donnée par l'orientation de $\mathcal{F}_{\mathcal{G}}$. De la proposition 3 on tire le corollaire suivant.

Corollaire 3. *Soit \mathcal{G} un bloc fondamental labellé qui n'est pas un prisme exceptionnel et tel que $m(\mathcal{G}) = 0$, muni d'un système puits-source. Soit Γ un 3-circuit prismatique de \mathcal{G} orienté via le système puits-source, et $r \in I_{\Gamma}^{\mathcal{G}}$.*

Alors, $X_{\mathcal{G}}^r$ est difféomorphe à $\kappa(\mathcal{G}, \Gamma, r)$ copies de $\mathbb{R}^{d(\mathcal{G})-1}$ où $\kappa(\mathcal{G}, \Gamma, r)$ est le nombre d'orientation partielle admissible compatible avec r de $\mathcal{F}_{\mathcal{G}}$.

Remarque. Il est facile de voir que comme \mathcal{G} est un bloc fondamental $\kappa(\mathcal{G}, \Gamma, r)$ ne dépend pas de r . On le notera donc $\kappa(\mathcal{G}, \Gamma)$.

3.11 Lemme de collage

On cherche à présent à comprendre comment coller 2 polyèdres miroir le long d'une face triangulaire dont les arêtes sont d'ordre 2.

Notations. Comme il y a plusieurs polyèdres en jeu dans le lemme qui suit, on notera $R_\Gamma(P)$ la quantité que l'on notait habituellement R_Γ associé à un 3-circuit orienté Γ de P .

Lemme 8. *Soit \mathcal{G} un graphe labellé tel que $m(\mathcal{G}) = 0$ et $d(\mathcal{G}) \geq 0$. On suppose que \mathcal{G} possède un 3-circuit orienté prismatique essentiel Γ . On note \mathcal{G}_Γ^d et \mathcal{G}_Γ^g les coupes droite et gauche de \mathcal{G} par rapport à Γ .*

On suppose que \mathcal{G}_Γ^g est un bloc fondamental labellé.

Soient v une face traversée par Γ , u une face de \mathcal{G} à droite de Γ et adjacente à v , et enfin w une face de \mathcal{G} à gauche de Γ adjacente à v .

Alors l'application $\phi : P \in X_{\mathcal{G}} \mapsto (P_\Gamma^d, R_{\{u,v,w\}}) \in X_{\mathcal{G}_\Gamma^d} \times \mathbb{R}$ est une fibration dont les fibres $\phi^{-1}(Q, r)$ s'identifient à $E_{Q,r} = \{R \in X_{\mathcal{G}_\Gamma^g} \mid R_\Gamma(R) = R_\Gamma(Q)\} = X_{\mathcal{G}_\Gamma^g}^{R_\Gamma(Q)}$.

Remarque. L'ensemble $E_{Q,r}$ est diffeomorphe à $\kappa(\mathcal{G}_\Gamma^g, \Gamma)$ copies de $\mathbb{R}^{d(\mathcal{G}_\Gamma^g)-1}$, d'après le corollaire 3.

Démonstration. On remarque pour commencer que \mathcal{G}^g ne peut être un prisme exceptionnel car Γ est essentiel. Soit F le fibré de base $X_{\mathcal{G}^d} \times \mathbb{R}$ dont les fibres sont les $\{B \in X_{\mathcal{G}^d} \mid R_\Gamma(B) = R_\Gamma(P^d)\}$ (le corollaire 3 nous montre que les fibres sont diffeomorphes). Le lemme 7 nous fournit une application naturelle $\phi : P \in X_{\mathcal{G}} \mapsto (P^d, R_{\{u,v,w\}}, P^g) \in F \subset X_{\mathcal{G}^d} \times \mathbb{R} \times X_{\mathcal{G}^g}$ et on a bien $R_\Gamma(P^d) = R_\Gamma(P^g)$, donc ϕ est bien définie.

On peut construire l'application réciproque de ϕ comme suit.

Soit $(Q, r, R) \in F$. On peut numéroter les faces traversées par Γ de 1 à 3. Si on note $(e_i)_{i=1..4}$ une base de \mathbb{R}^4 , alors on peut supposer que les faces traversées par Γ sont définies par les formes linéaires $-e_i^*$ pour $i = 1..3$, que la face v est aussi la face 1, et que le plan Π_Γ est défini par la forme linéaire $-e_4^*$. On peut aussi supposer que la face u est définie par $-e_1^* - e_2^* - e_3^* - e_4^*$, que la face w est définie par $-e_1^* - e_2^* - e_3^* + e_4^*$. Ainsi, les réflexions par rapport aux faces 1 (resp 2 resp 3) des polyèdres miroirs Q et R sont les mêmes, car $R_\Gamma(Q) = R_\Gamma(R)$.

On peut alors construire le polyèdre miroir P dont les faces et les réflexions sont les faces et les réflexions de Q ou R moins la face de Q entourée par Γ et la face de R entourée par Γ . Mais on peut en construire d'autres. En effet, pour tout $\lambda > 0$, considérons l'élément g_λ de $\text{SL}_4(\mathbb{R})$ dont la matrice dans la base (e_1, e_2, e_3, e_4) est :

$$g_\lambda = \begin{pmatrix} \lambda & & & \\ & \lambda & & \\ & & \lambda & \\ & & & \lambda^{-3} \end{pmatrix}.$$

g_λ commute avec les réflexions $\sigma_1, \sigma_2, \sigma_3$. De plus, tout élément de $\text{SL}_4(\mathbb{R})$ qui commute avec

$\sigma_1, \sigma_2, \sigma_3$ est un g_λ pour un certain $\lambda \in \mathbb{R}_+^*$. On peut donc construire un polyèdre miroir $P_\lambda \in X_{\mathcal{G}}$ dont les réflexions à droite de Γ sont les réflexions de Q et les réflexions à gauche de Γ sont les conjuguées des réflexions de R par g_λ . Comme g_λ commute avec $\sigma_1, \sigma_2, \sigma_3$, cette définition n'est pas ambiguë. Et il est clair que les polyèdres P_λ sont convexes.

Il ne nous reste plus qu'à montrer qu'il existe un unique réel $\lambda > 0$ tel que $R_{u,v,w}(P_\lambda) = r$, et ceci résulte du calcul suivant :

$$R_{u,v,w}(P_\lambda) = \frac{\alpha_u(v_v)\alpha_v(v_w)\alpha_w(v_u)}{\alpha_u(v_w)\alpha_w(v_v)\alpha_v(v_u)} = \frac{a + \lambda^4 b}{c + \lambda^{-4} d},$$

où

$$\begin{cases} a = \alpha_1(v_w)(\alpha_1 + \alpha_2 + \alpha_3)(v_u) > 0 \\ b = -\alpha_1(v_w)e_4^*(v_u) > 0 \\ c = \alpha_1(v_u)(\alpha_1 + \alpha_2 + \alpha_3)(v_w) > 0 \\ d = \alpha_1(v_u)e_4^*(v_w) > 0. \end{cases}$$

On définit ainsi $\psi : (Q, r, R) \in F \mapsto P_\lambda \in X_{\mathcal{G}}$, où P_λ est l'unique polyèdre projectif miroir tel que $P_\lambda^d = Q$, $P_\lambda^g = R$ et $R_{u,v,w}(P_\lambda) = r$. Il est alors clair que les applications ϕ et ψ sont inverse l'une de l'autre. Ce qui termine la démonstration. \square

Remarque. Ce lemme nous montre que $X_{\mathcal{G}}$ est une variété et qu'elle est de dimension $d(\mathcal{G})$. Il s'agit d'une récurrence sur le nombre de 3-circuit prismatique essentiel de \mathcal{G} . Le cas initial est trivial, et sinon on choisit un 3-circuit orienté prismatique essentiel Γ tel que \mathcal{G}_Γ^g est un bloc fondamental. Le lemme 8 et l'hypothèse de récurrence nous montrent que $X_{\mathcal{G}}$ est une variété de dimension $d(\mathcal{G}_\Gamma^d) + (d(\mathcal{G}_\Gamma^g) - 1) + 1 = d(\mathcal{G})$.

3.12 Explicitation du difféomorphisme

On peut construire explicitement le difféomorphisme entre $X_{\mathcal{G}}$ et les copies de $\mathbb{R}^{d(\mathcal{G})}$. Pour cela, introduisons les notations suivantes :

1. On commence par se donner un système puits-source \mathcal{S} de 3-circuits de \mathcal{G} .
2. On note V l'ensemble des sommets de valence 4 de la forêt $\mathcal{F}_{\mathcal{G}}$. Si $s \in V$, alors on note $(\Gamma_i^s)_{i=1\dots 4}$ une suite des quatre 3-circuits de \mathcal{S} qui correspondent aux arêtes incidentes de s .
3. On note C_3 la partie de \mathcal{S} formée des 3-circuits sans angle droit de \mathcal{G} , et on pose

$$E = \left\{ x \in \mathbb{R}^{C_3} \left| \begin{array}{l} \forall \Gamma \in C'_3, \quad x_\Gamma \in I_\Gamma^{\mathcal{G}} \\ \text{et} \\ \forall s \in V, \quad \sum_{i=1\dots 4} x_{\Gamma_i^s} = 0 \end{array} \right. \right\}.$$

E est une réunion d'ouverts convexes disjoints indexée naturellement par les orientations partielles de $\mathcal{F}_{\mathcal{G}}$. On note \mathcal{E} la partie de E qui correspond aux orientations partielles admissibles de $\mathcal{F}_{\mathcal{G}}$.

4. On note C'_3 la partie de \mathcal{S} formée des 3-circuits prismatiques essentiels de \mathcal{G} . Pour tout élément Γ de C'_3 , on choisit une face s_Γ de Γ , une face s_Γ^d à droite de Γ et adjacente à s_Γ , et enfin une face s_Γ^g à gauche de Γ et adjacente à s_Γ .

5. On note C_4 l'ensemble des sommets de \mathcal{A}_G dont le bloc fondamental correspondant vient d'un tétraèdre T qui possède exactement 2 arêtes d'ordre 2 qui ne sont pas sur la même face de T . A tout élément $s \in C_4$ est associé un unique 4-circuit orienté (à orientation près) noté Δ_s .
6. On note \mathcal{M}_G l'espace $\mathcal{E} \times \mathbb{R}^{C_4} \times \mathbb{R}^{C'_3}$.

Remarque. Soit \mathcal{G} est un écimaèdre labellé. Si s est un sommet de \mathcal{A}_G , et si on note \mathcal{B}_s le bloc fondamental associé à s alors on a une projection naturelle $p_s : \mathcal{M}_G \rightarrow \mathcal{M}_{\mathcal{B}_s}$. Il est clair que cette application est surjective.

On a un énoncé plus précis que le théorème 3.

Théorème 4. *Soit \mathcal{G} un écimaèdre labellé qui n'est pas un prisme exceptionnel et tel que $m(\mathcal{G}) = 0$ et $d(\mathcal{G}) \geq 0$, avec les notations introduites ci-dessus. L'application*

$$\begin{aligned} \phi_G : X_G &\longrightarrow E \times \mathbb{R}^{C_4} \times \mathbb{R}^{C'_3} \\ P &\longmapsto \left((R_\Gamma)_{\Gamma \in C_3}, (R_{\Delta_s})_{s \in C_4}, (R_{\{s_\Gamma^g, s_\Gamma, s_\Gamma^d\}})_{\Gamma \in C'_3} \right) \end{aligned}$$

est un difféomorphisme sur \mathcal{M}_G . En particulier, les composantes connexes de X_G sont en bijection avec les orientations partielles admissibles de \mathcal{F}_G . Et, X_G s'identifie à une réunion d'ouvert convexe d'un espace vectoriel de dimension $d(\mathcal{G})$.

Démonstration. Ce théorème a déjà été démontré lorsque \mathcal{G} est un bloc fondamental ou un tétraèdre. Il s'agit des propositions 2 et 3. Nous allons procéder par étape.

Commençons par montrer que ϕ_G est injective. Pour cela, il suffit de procéder par récurrence sur le nombre de 3-circuit prismatique essentiel de \mathcal{G} . Si \mathcal{G} ne possède pas de tel 3-circuit, alors \mathcal{G} est un bloc fondamental ou un tétraèdre et le théorème est démontré dans ce cas. Si \mathcal{G} possède un 3-circuit prismatique essentiel alors \mathcal{G} possède un 3-circuit orienté prismatique essentiel Γ tel que \mathcal{G}_Γ^g soit un bloc fondamental. Le lemme de collage (lemme 8), l'hypothèse de récurrence et la proposition 3 nous montre que tout polyèdre $P \in X_G$ est entièrement déterminé par $\phi_G(P)$. Donc ϕ_G est injective.

Montrons à présent que l'image de ϕ_G contient \mathcal{M}_G . Soit $m \in \mathcal{M}_G$. Pour tout sommet s de \mathcal{A}_G , on note \mathcal{B}_s le bloc fondamental labellé de \mathcal{G} correspondant au sommet s . Le lemme 8 nous montre qu'il existe un $P \in X_G$ tel que $\phi_G(P) = m$ si et seulement si pour tout sommet s de \mathcal{A}_G il existe un bloc fondamental $B_s \in X_{\mathcal{B}_s}$ tel que $\phi_{\mathcal{B}_s}(B_s) = p_s(y)$, où p_s désigne la projection naturelle $p_s : \mathcal{M}_G \rightarrow \mathcal{M}_{\mathcal{B}_s}$. La proposition 3 et le fait que toute orientation partielle admissible de \mathcal{F}_G induit une orientation partielle admissible de $\mathcal{F}_{\mathcal{B}_s}$ nous montrent l'existence de tels blocs fondamentaux. La surjectivité de p_s permet de conclure que \mathcal{M}_G est inclus dans l'image de ϕ_G .

Il faut montrer à présent que l'image de ϕ_G est incluse dans \mathcal{M}_G . Soit $P \in X_G$, montrons que P définit naturellement une orientation partielle admissible. Si pour tout 3-circuit sans angle droit de Γ , on a $R_\Gamma(P) \neq 0$; alors on a vu au paragraphe 3.9, qu'un tel polyèdre définit une orientation globale admissible de \mathcal{F}_G et donc une unique orientation partielle admissible de \mathcal{F}_G . Si l'un des 3-circuits sans angle droit de Γ vérifient $R_\Gamma(P) = 0$ alors nous allons modifier légèrement la structure de notre polyèdre P . Le lemme 8 nous montre que X_G est une variété et on a vu que ϕ_G est injective donc l'image de ϕ_G est ouverte par le théorème de l'image ouverte. On peut donc supposer que pour tout 3-circuit sans angle droit de Γ , on a $R_\Gamma(P) \neq 0$. Ce qui conclut la démonstration. \square

Remarque. Il est à présent clair que $\kappa(\mathcal{G})$ est un entier pair ou égal à 1, qui vérifie $1 \leq \kappa(\mathcal{G}) \leq 2^{n(\mathcal{G})}$.

4 Exemples

On donne ici quelques exemples de calcul du nombre de composantes connexes de X_G . Les figures sont décomposées en trois parties : le graphe combinatoire associé à \mathcal{G} et l'arbre associé, que l'on a représenté deux fois.

Pour rendre les figures lisibles, nos exemples vérifient tous les hypothèses suivantes : les arêtes extrémales sont sphériques avec angle droit et les arêtes non extrémales sont sans angle droit.

Enfin, on a inscrit sur les arêtes la nature géométrique de l'arête, en utilisant les abréviations suivantes : a = affine et h = hyperbolique.

On désignera par κ_1 (resp κ_2) le nombre de composantes connexes de l'espace des modules associé à n'importe quel graphe labellé qui vient du graphe labellé dessiné et dont les 3-circuits vérifient les hypothèses données par les labels des arêtes de l'arbre dessiné à gauche (resp droite).

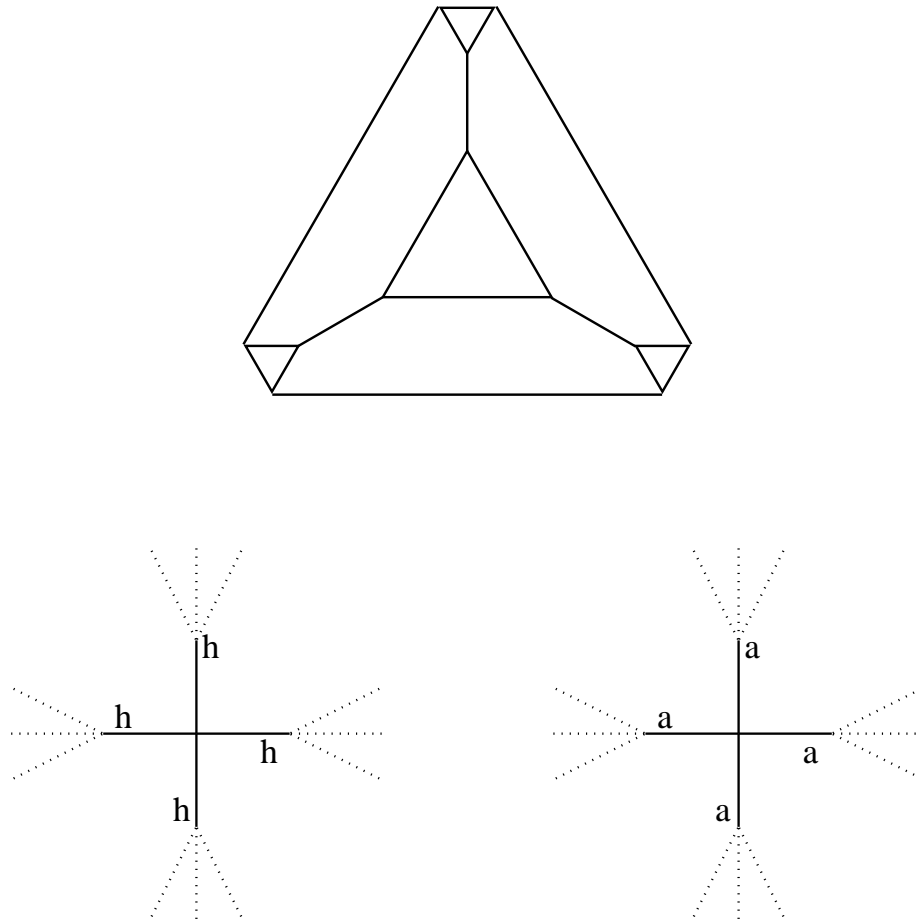


FIG. 9 – $\kappa_1 = 1$ et $\kappa_2 = 14$

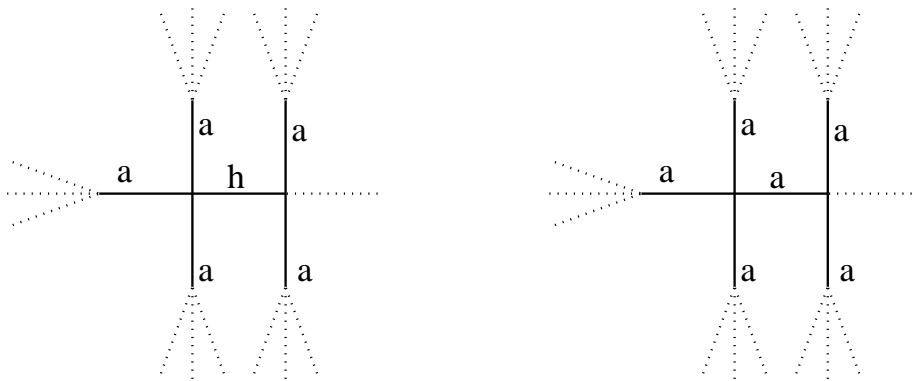


FIG. 10 - $\kappa_1 = 2^5 = 32$ et $\kappa_2 = 14 \cdot 2^2 = 56$

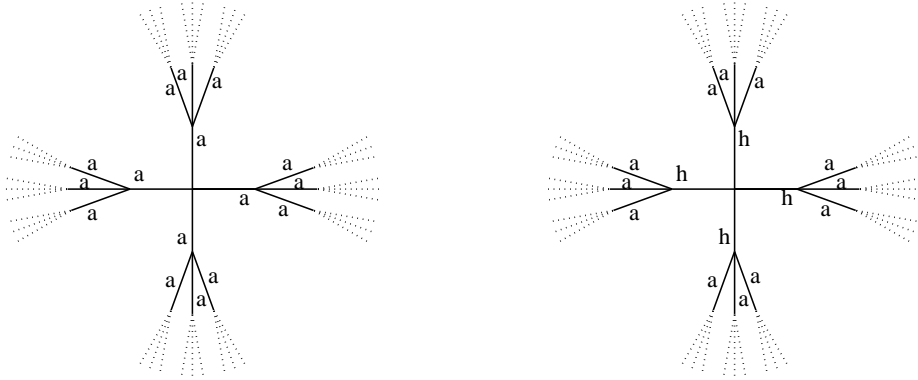
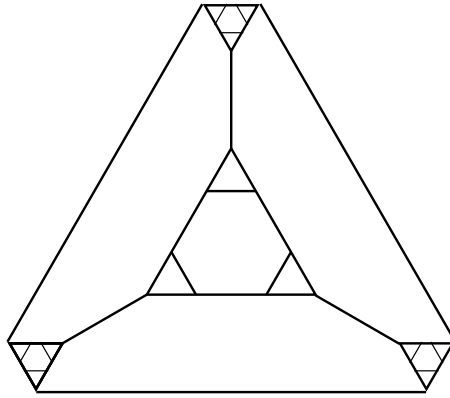


FIG. 11 - $\kappa_1 = 14 \cdot 7^4 = 33614$ et $\kappa_2 = 2^{12} - 2 = 4094$

5 Bibliographie

Références

- [1] E.B VINBERG, *Discret linear groups generated by reflections*, Math, USSR Izvestija 5 (1971) p 1083-1119.
- [2] S. CHOI, *The deformation spaces of projectives structures on 3-dimensional Coxeter Orbifolds*, Geometria Dedicata 119 (Vol 1) (2006) p 69-90.
- [3] Y. BENOIST, *Five lectures in semisimple Lie groups*, Lecture one.
- [4] JÜRGEN RICHTER-GEBERT, *Realization spaces of polytopes* Number 1643 in Lecture notes in mathematics. 1996.
- [5] E.M. ANDREEV, *On convex polyhedra in Lobacevskii spaces*, Math. USSR Sbornik, 10 :413-440, 1970.
- [6] ROLAND K. W. ROEDER JOHN H. HUBBARD AND WILLIAM D. DUNBAR, *Andreev's theorem on hyperbolic polyhedra*. Les Annales de l'Institut Fourier, 57(3) :825-882, 2007.
- [7] NICOLAS BOURBAKI, *Groupes et algèbres de Lie*, Chapitres 4, 5 et 6.